

**МИКРОСХЕМЫ ИНТЕГРАЛЬНЫЕ**

**1395ЕР055Б, 1395ЕР051А, 1395ЕН05А1, 1395ЕН05Б1, 1395ЕН05В1,  
1395ЕН05Г1, 1395ЕН05Д1, 1395ЕН05Е1, 1395ЕН05Ж1, 1395ЕН05И1,  
1395ЕН05К1, 1395ЕН05В4Б, 1395ЕН05Е4Б, 1395ЕН05Ж4Б, 1395ЕН06А5Б,  
1395ЕН06Б5Б, 1395ЕН06В5Б, 1395ЕН06Г5Б, 1395ЕН06Д5Б,  
1395ЕН06Е5Б, 1395ЕН06Ж5Б, 1395ЕН06И5Б, 1395ЕН06К5Б,  
1395ЕН06В1А, 1395ЕН06Е1А, 1395ЕН06Ж1А**

**Справочный лист**

**ЮФ.431422.030 Д1**

## **Содержание**

1 Внешние воздействующие факторы . . . . .	9
2 Основные технические данные . . . . .	11
3 Надежность . . . . .	17
4 Указания по применению и эксплуатации . . . . .	20
5 Типовые характеристики . . . . .	23

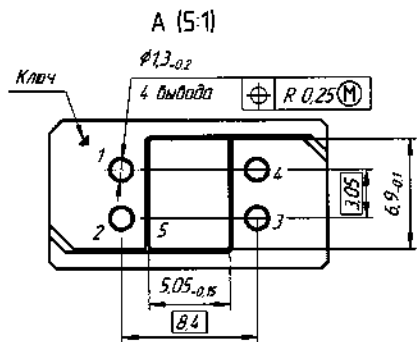
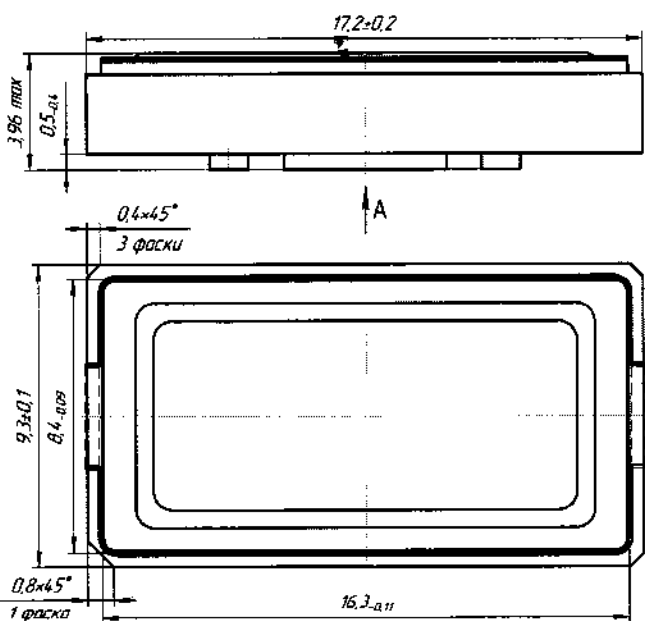
Интегральные микросхемы 1395ЕР055Б, 1395ЕР051А представляют собой стабилизаторы напряжения с регулируемым выходным напряжением положительной полярности, интегральные микросхемы 1395ЕН05А1, 1395ЕН05Б1, 1395ЕН05В1, 1395ЕН05Г1, 1395ЕН05Д1, 1395ЕН05Е1, 1395ЕН05Ж1, 1395ЕН05И1, 1395ЕН05К1, 1395ЕН05В4Б, 1395ЕН05Е4Б, 1395ЕН05Ж4Б представляют собой стабилизаторы напряжения с фиксированным выходным напряжением положительной полярности, интегральные микросхемы 1395ЕН06А5Б, 1395ЕН06Б5Б, 1395ЕН06В5Б, 1395ЕН06Г5Б, 1395ЕН06Д5Б, 1395ЕН06Е5Б, 1395ЕН06Ж5Б, 1395ЕН06И5Б, 1395ЕН06К5Б, 1395ЕН06В1А, 1395ЕН06Е1А, 1395ЕН06Ж1А представляют собой стабилизаторы напряжения с фиксированным выходным напряжением положительной полярности с входом разрешения.

Количество элементов в схеме электрической микросхем 1395ЕР055Б, 1395ЕР051А – 104, микросхем типа 1395ЕН05, 1395ЕН06 – 119.

Микросхемы предназначены для применения в источниках вторичного электропитания аппаратуры специального назначения.

Т а б л и ц а 1 – Типы микросхем

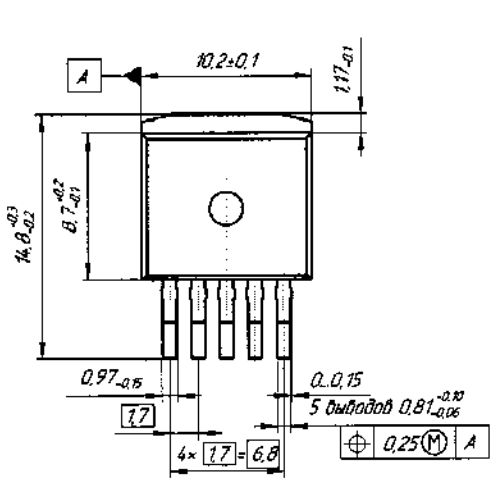
Условное обозначение микросхемы	Условное обозначение корпуса	Масса, г не более	Содержание драгоценных металлов в 1 000 шт. микросхем	
			Золото, г	Серебро, г
1395ЕР055Б, 1395ЕН06А5Б, 1395ЕН06Б5Б, 1395ЕН06В5Б, 1395ЕН06Г5Б, 1395ЕН06Д5Б, 1395ЕН06Е5Б, 1395ЕН06Ж5Б, 1395ЕН06И5Б, 1395ЕН06К5Б	МК КТ-118-1	2,00	11,16	33,356
1395ЕР051А, 1395ЕН06В1А, 1395ЕН06Е1А, 1395ЕН06Ж1А	1501.5-6	2,00	–	–
1395ЕН05А1, 1395ЕН05Б1, 1395ЕН05В1, 1395ЕН05Г1, 1395ЕН05Д1, 1395ЕН05Е1, 1395ЕН05Ж1, 1395ЕН05И1, 1395ЕН05К1	КТ-28А-2.02	3,00	51,6068	57,8040
1395ЕН05В4Б, 1395ЕН05Е4Б, 1395ЕН05Ж4Б	КТ-90	2,00	–	–



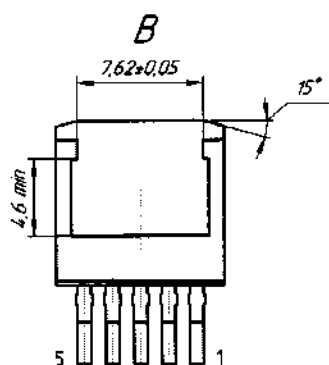
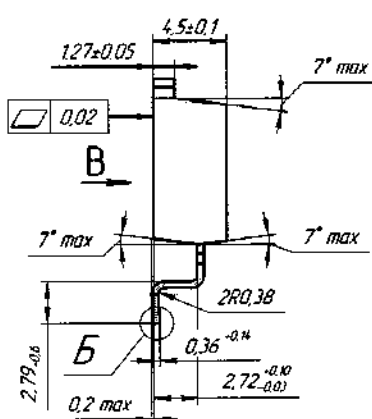
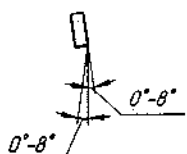
1 Нумерация выводов показана условно. Ключ определяет нумерацию выводов.

### Корпус МК КТ-118-1 металлокерамический.

Материал покрытия выводов Зл.



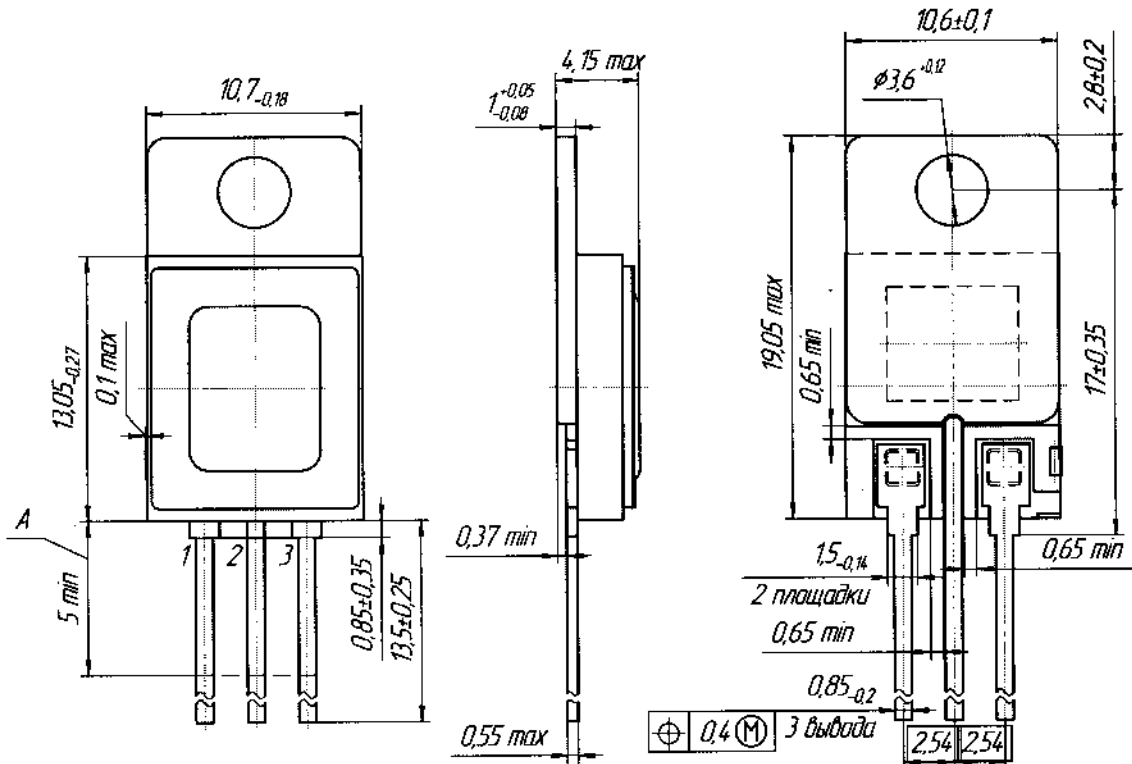
Б/10:1



1 Нумерация выводов показана условно.

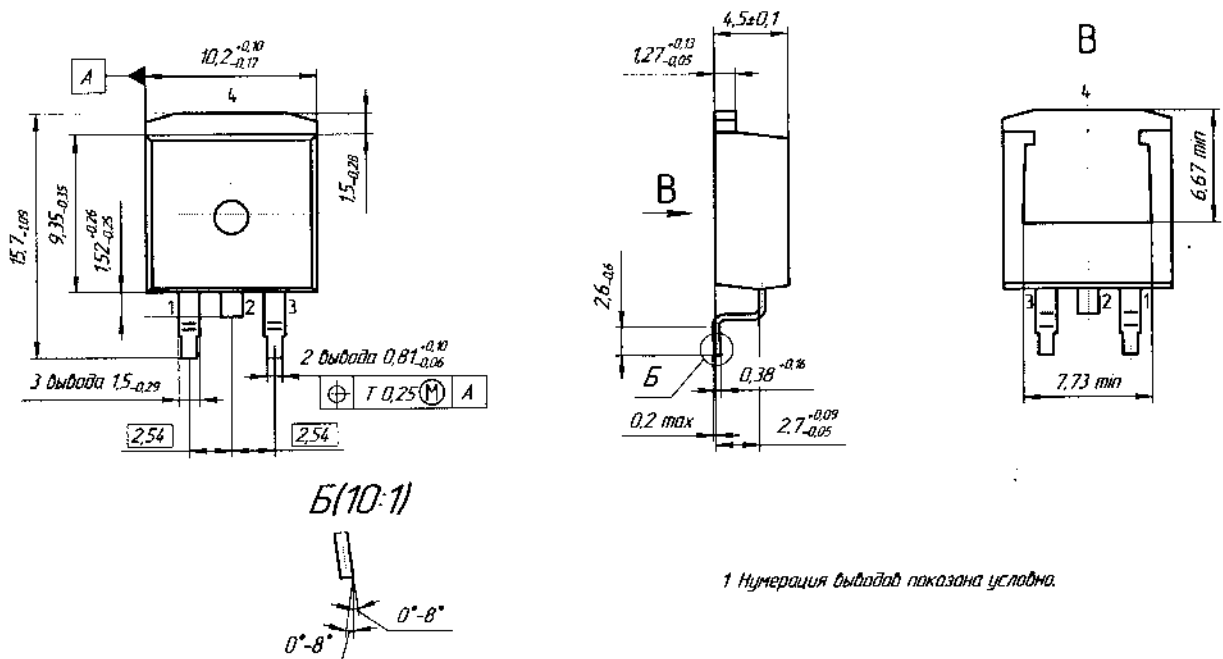
### Корпус 1501.5-6 металлополимерный

Материал покрытия выводов О-Ви (99,8) 6.



Корпус КТ-28А-2.02 металлокерамический.

Материал покрытия выводов НЗ.Зл4.



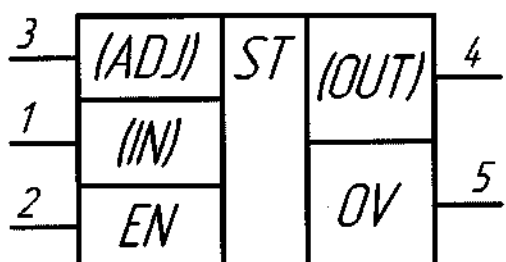
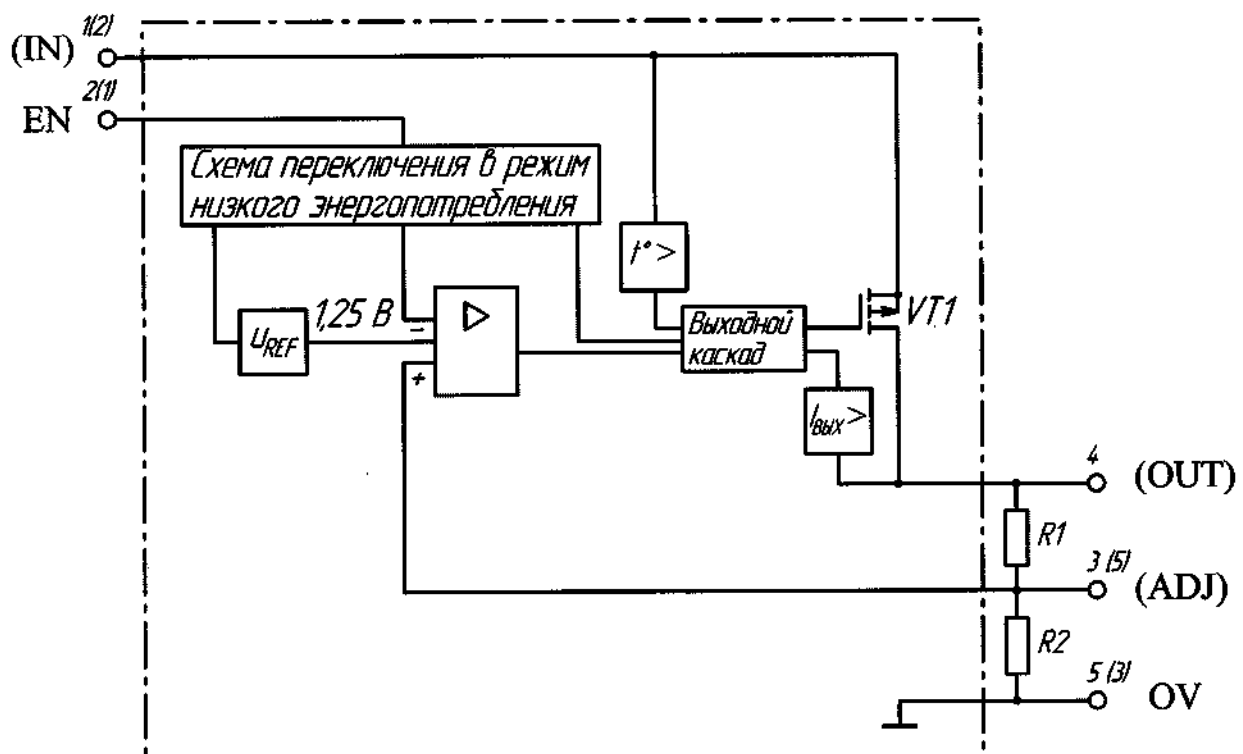
Корпус КТ-90 металловолимерный

Материал покрытия выводов О-Ви (99,8) 6 + Гор. ПОС 61.

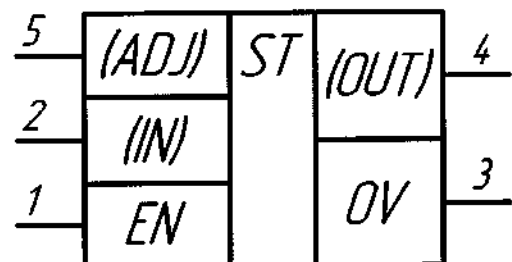
Пример обозначения микросхем при заказе (в договоре на поставку):

Микросхема 1395ЕН05А1 – АЕНВ.431420.450-03 ТУ.

**Схема электрическая функциональная, условное графическое обозначение, назначение выводов микросхем  
1395EP055Б, 1395EP051А**



ИС 1395EP055Б

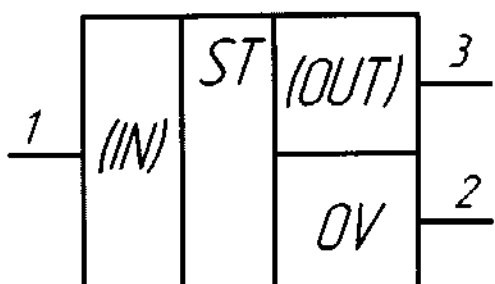
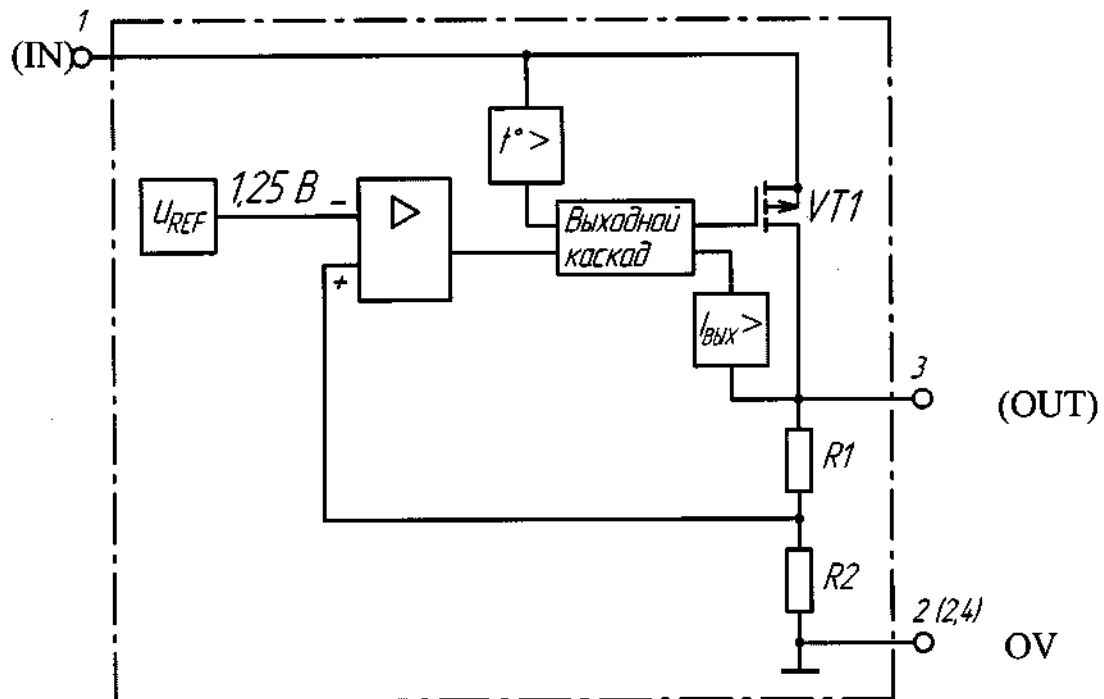


ИС 1395EP051А

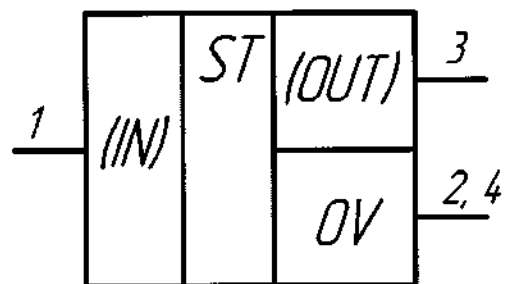
**Таблица назначения выводов**

Микросхема		Назначение вывода
Номер вывода		
1395EP055Б	1395EP051А	
1	2	Входное напряжение, (IN)
4	4	Выход, (OUT)
5	3	Общий вывод, 0V
3	5	Вход регулировки обратной связи, (ADJ)
2	1	Вход разрешения, EN

**Схема электрическая функциональная, условное графическое обозначение, назначение выводов микросхем 1395ЕН05А1, 1395ЕН05Б1, 1395ЕН05В1, 1395ЕН05Г1, 1395ЕН05Д1, 1395ЕН05Е1, 1395ЕН05Ж1, 1395ЕН05И1, 1395ЕН05К1, 1395ЕН05В4Б, 1395ЕН05Е4Б, 1395ЕН05Ж4Б**



ИС в корпусе КТ-28А-2.02

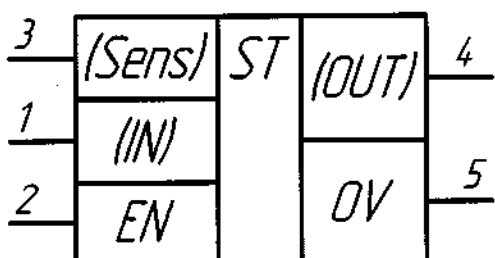
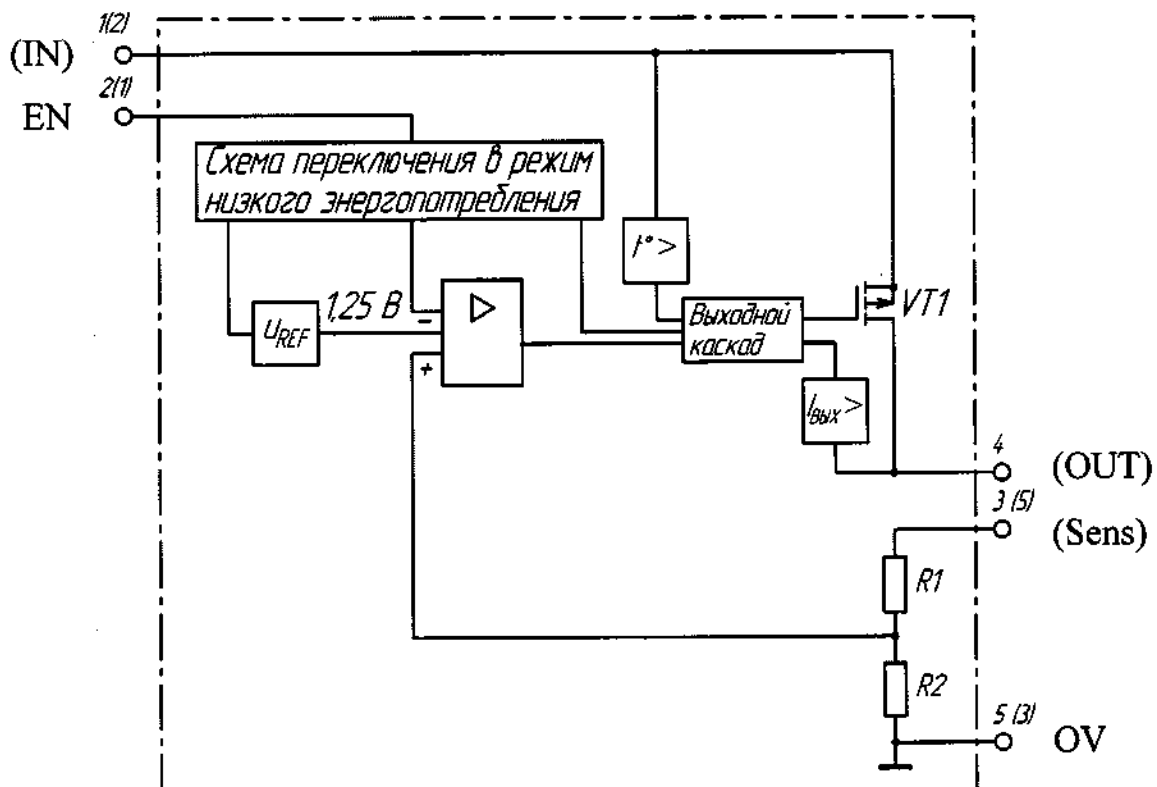


ИС в корпусе КТ-90

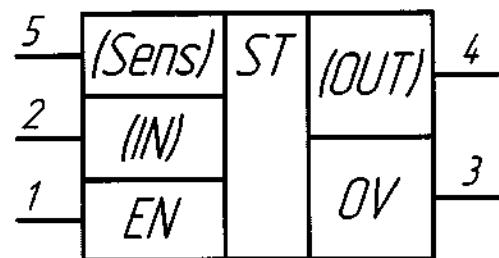
**Таблица назначения выводов**

Микросхема в корпусе		Назначение вывода	
Номер вывода			
КТ-28А-2.02	КТ-90		
1	1	Входное напряжение, (IN)	
2	2, 4	Общий вывод, 0V	
3	3	Выход, (OUT)	

**Схема электрическая функциональная, условное графическое обозначение, назначение выводов микросхем 1395ЕН06А5Б, 1395ЕН06Б5Б, 1395ЕН06В5Б, 1395ЕН06Г5Б, 1395ЕН06Д5Б, 1395ЕН06Е5Б, 1395ЕН06Ж5Б, 1395ЕН06И5Б, 1395ЕН06К5Б, 1395ЕН06В1А, 1395ЕН06Е1А, 1395ЕН06Ж1А**



ИС в корпусе МК КТ-118-1



ИС в корпусе 1501.5-6

Таблица назначения выводов

Микросхема в корпусе		Назначение вывода
Номер вывода		
МК КТ-118-1	1501.5-6	
1	2	Входное напряжение, (IN)
4	4	Выход, (OUT)
5	3	Общий вывод, 0V
3	5	Вход обратной связи, (Sens)
2	1	Вход разрешения, EN

# 1 Внешние воздействующие факторы

## Синусоидальная вибрация:

– диапазон частот, Гц . . . . .	1 – 5 000
– амплитуда ускорения, м·с <sup>-2</sup> (g) . . . . .	400 (40)

## Механический удар:

– одиночного действия	
пиковое ударное ускорение, м·с <sup>-2</sup> (g) . . . . .	15 000 (1 500)
длительность действия ударного ускорения, мс . . . . .	0,1 – 2,0
– многократного действия	
пиковое ударное ускорение, м · с <sup>-2</sup> (g). . . . .	1 500 (150)
длительность действия ударного ускорения, мс . . . . .	1 – 5

Линейное ускорение, м·с<sup>-2</sup> (g). . . . . 5 000 (500)

## Акустический шум:

– диапазон частот, Гц . . . . .	50 – 10 000
– уровень звукового давления (относительно $2 \cdot 10^{-5}$ Па), дБ	170

Атмосферное пониженное рабочее давление, Па (мм.рт.ст.) 1,3·10<sup>-4</sup> (10<sup>-6</sup>)

Атмосферное повышенное рабочее давление, кПа (мм.рт.ст.) 294 (2205)

## Повышенная температура среды , °C

– рабочая . . . . .	125
– предельная . . . . .	150

## Пониженная температура среды, °C

– рабочая . . . . .	минус 60
– предельная . . . . .	минус 60

## Смена температур, °C:

– от предельной повышенной температуры среды . . . . .	150
– до предельной пониженной температуры среды . . . . .	минус 60

Повышенная относительная влажность при 35°C, % . . . . . 98

Атмосферные конденсированные осадки (роса, иней)

(с покрытием лаком)

Соляной туман (с покрытием лаком)•

Плесневые грибы

## **Атмосфера с коррозийно-активными средами**

**Контрольные среды, объемная доля компонентов среды, %:**

– гелиево-воздушная . . . . .	90
– аргоно-воздушная . . . . .	90
– аргоно-азотная . . . . .	90

**Допускается эксплуатация микросхем при воздействии специальных факторов.**

## 2 Основные технические данные

Т а б л и ц а 2 – Электрические параметры микросхем при приемке и поставке

Наименование параметра, единица измерения (режим измерения)	Буквенное обозначение параметра	Норма параметра		Температура корпуса, °C
		не менее	не более	
1	2	3	4	5
Опорное напряжение, В 1395EP055Б, 1395EP051А	$U_{\text{оп}}$	1,225	1,275	$25 \pm 10$
		1,200	1,300	$-60 \pm 3$
		1,200	1,300	$125 \pm 5$
Выходное напряжение, В 1395EH05A1, 1395EH06A5Б	$U_{\text{вых}}$	1,225	1,275	$25 \pm 10$
		1,200	1,300	$-60 \pm 3$
		1,200	1,300	$125 \pm 5$
1395EH05Б1, 1395EH06Б5Б		1,470	1,530	$25 \pm 10$
		1,440	1,560	$-60 \pm 3$
		1,440	1,560	$125 \pm 5$
1395EH05B1, 1395EH06B5Б, 1395EH05B4Б, 1395EH06B1А		1,764	1,836	$25 \pm 10$
		1,728	1,872	$-60 \pm 3$
		1,728	1,872	$125 \pm 5$
1395EH05Г1, 1395EH06Г5Б		2,450	2,550	$25 \pm 10$
		2,400	2,600	$-60 \pm 3$
		2,400	2,600	$125 \pm 5$
1395EH05Д1, 1395EH06Д5Б		2,940	3,060	$25 \pm 10$
		2,880	3,120	$-60 \pm 3$
		2,880	3,120	$125 \pm 5$

*Продолжение таблицы 2*

1	2	3	4	5
1395EH05E1, 1395EH06E5Б, 1395EH05E4Б, 1395EH06E1А	U <sub>вых</sub>	3,234 3,168 3,168	3,366 3,432 3,432	25 ± 10 -60 ± 3 125 ± 5
1395EH05Ж1, 1395EH06Ж5Б, 1395EH05Ж4Б, 1395EH06Ж1А		4,900 4,800 4,800	5,100 5,200 5,200	25 ± 10 -60 ± 3 125 ± 5
1395EH05И1, 1395EH06И5Б		8,820 8,640 8,640	9,180 9,360 9,360	25 ± 10 -60 ± 3 125 ± 5
1395EH05К1, 1395EH06К5Б		11,760 11,520 11,520	12,240 12,480 12,480	25 ± 10 -60 ± 3 125 ± 5
Минимальное падение напряжения, В	U <sub>ПД min</sub>	- - -	0,3 0,5 0,5	25 ± 10 -60 ± 3 125 ± 5
1395EH05Д1, 1395EH06Д5Б, 1395EH05Е1, 1395EH06Е5Б, 1395EH05Е4Б, 1395EH06Е1А, 1395EH05Ж1, 1395EH06Ж5Б, 1395EH05Ж4Б, 1395EH06Ж1А 1395EH05И1, 1395EH06И5Б, 1395EH05К1, 1395EH06К5Б				

*Продолжение таблицы 2*

1	2	3	4	5
Входное напряжение низкого уровня на выводе EN, В 1395EP055Б, 1395EP051А, 1395EH06A5Б, 1395EH06B5Б, 1395EH06B5Б, 1395EH06Г5Б, 1395EH06Д5Б, 1395EH06Е5Б, 1395EH06Ж5Б, 1395EH06И5Б, 1395EH06К5Б, 1395EH06В1А, 1395EH06Е1А, 1395EH06Ж1А	$U_{\text{ВХ.Н EN}}$	— — —	0,5 0,4 0,4	$25 \pm 10$ $-60 \pm 3$ $125 \pm 5$
Входное напряжение высокого уровня на выводе EN, В 1395EP055Б, 1395EP051А, 1395EH06A5Б, 1395EH06B5Б, 1395EH06B5Б, 1395EH06Г5Б, 1395EH06Д5Б, 1395EH06Е5Б, 1395EH06Ж5Б, 1395EH06И5Б, 1395EH06К5Б, 1395EH06В1А, 1395EH06Е1А, 1395EH06Ж1А	$U_{\text{ВХ.В EN}}$	2,0 2,5 2,5	— — —	$25 \pm 10$ $-60 \pm 3$ $125 \pm 5$
Входной ток по выводу EN, мкА 1395EP055Б, 1395EP051А, 1395EH06A5Б, 1395EH06B5Б, 1395EH06B5Б, 1395EH06Г5Б, 1395EH06Д5Б, 1395EH06Е5Б, 1395EH06Ж5Б, 1395EH06И5Б, 1395EH06К5Б, 1395EH06В1А, 1395EH06Е1А, 1395EH06Ж1А	$I_{\text{ВХ.EN}}$	— — —	2 4 4	$25 \pm 10$ $-60 \pm 3$ $125 \pm 5$

*Окончание таблицы 2*

1	2	3	4	5
Ток потребления при высоком уровне напряжения на выводе EN, мкА  1395EP055Б, 1395EP051А, 1395EH06A5Б, 1395EH06B5Б, 1395EH06B5Б, 1395EH06Г5Б, 1395EH06Д5Б, 1395EH06Е5Б, 1395EH06Ж5Б, 1395EH06И5Б, 1395EH06К5Б, 1395EH06В1А, 1395EH06Е1А, 1395EH06Ж1А	I <sub>ПОТ.В</sub>	— — —	10 15 15	25 ± 10 —60 ± 3 125 ± 5
Ток потребления, мкА	I <sub>ПОТ</sub>	— — —	180 250 250	25 ± 10 —60 ± 3 125 ± 5
Ток короткого замыкания, А	I <sub>КЗ</sub>	0,75	2,25	25 ± 10
Нестабильность по напряжению, %/В	K <sub>U</sub>	— — —	0,2 0,4 0,4	25 ± 10 —60 ± 3 125 ± 5
Нестабильность по току, %/А	K <sub>I</sub>	— — —	5 10 10	25 ± 10 —60 ± 3 125 ± 5

Т а б л и ц а 3 – Значения предельно допустимых и предельных режимов эксплуатации в диапазоне рабочих температур корпуса

Наименование параметра режима, единица измерения	Буквенное обозначение параметра режима	Предельно допустимый режим		Предельный режим		Номер пункта при-мечания
		не менее	не более	не менее	не более	
1	2	3	4	5	6	7
Входное напряжение, В 1395EP055Б, 1395EP051А, 1395EH05А1, 1395EH05Б1, 1395EH05В1, 1395EH05В4Б, 1395EH05Г1, 1395EH05Д1, 1395EH06А5Б, 1395EH06Б5Б, 1395EH06В5Б, 1395EH06В1А, 1395EH06Г5Б, 1395EH06Д5Б 1395EH05Е1, 1395EH05Е4Б, 1395EH06Е5Б, 1395EH06Е1А 1395EH05Ж1, 1395EH05Ж4Б, 1395EH06Ж5Б, 1395EH06Ж1А 1395EH05И1, 1395EH06И5Б 1395EH05К1, 1395EH06К5Б	U <sub>вх</sub>		24	-0,3	25	1
			3,5			
			3,8			
			5,5			
			9,5			
			12,5			
Входное напряжение на выводе EN, В	U <sub>вх..EN</sub>	0	U <sub>вх</sub>	-0,3	U <sub>вх</sub> + +0,3	1
Выходной ток, А	I <sub>вых</sub>	-	0,5	-	*	-

*Окончание таблицы 3*

1	2	3	4	5	6	7
Рассеиваемая мощность, Вт	$P_{PAC}$	—	—	—	—	2,3
- при температуре окружающей среды от минус 60 до 25 °C						
типа 1395ЕР05, корпус МК КТ-118-1		0,73				
1395ЕН06	корпус 1501.5-6	0,73				
типа 1395ЕН05	корпус КТ-28А-2.02	0,83				
	корпус КТ-90	0,78				
- при температуре корпуса от минус 60 до 25 °C (с теплоотводом)		—	—	—	—	4
типа 1395ЕР05, корпус МК КТ-118-1		5,0				
1395ЕН06	корпус 1501.5-6	8,3				
типа 1395ЕН05	корпус КТ-28А-2.02	8,3				
	корпус КТ-90	7,8				

\* Ограничено внутренней схемой защиты.

*П р и м е ч а н и я*

1 Время воздействия предельного режима не более 3 с.

2 В диапазоне температур окружающей среды  $T_C$  от 25 до 125 °C рассеиваемая мощность  $P_{PAC}$ , Вт, рассчитывается по формуле

$$P_{PAC} = \frac{150 - T_C}{R_{Tn-c}}, \quad (1)$$

где  $R_{Tn-c}$  – тепловое сопротивление кристалл-окружающая среда, °C/Вт, указанное в пункте 2.2.32 АЕНВ.431420.450 ТУ.

3 Для микросхем, распаянных на печатную плату размером 30 мм × 40 мм × 1,5 мм.

4 В диапазоне температур корпуса  $T_{KOP}$  от 25 до 125 °C рассеиваемая мощность рассчитывается по формуле

$$P_{PAC} = \frac{150 - T_{KOP}}{R_{Tn-k}}, \quad (2)$$

где  $R_{Tn-k}$  – тепловое сопротивление кристалл-корпус, °C/Вт, указанное в пункте 2.2.32 АЕНВ.431420.450 ТУ.

### 3 Надёжность

Наработка до отказа  $T_H$ , ч . . . . . 150 000  
 Гамма-процентный срок сохраняемости  $T_{C\gamma}$ , лет . . . . . 25  
 Наработка до отказа  $T_H$  в облегченных режимах, ч . . . . . 180 000  
 Облегченный режим:  $P_{PAC\text{ ОБЛ}} = 0,6 P_{PAC}$ ,  $T_C = (65 \pm 5)^\circ\text{C}$

Т а б л и ц а 4 – Значения электрических параметров микросхем, изменяющиеся в течение наработки до отказа

Наименование параметра, единица измерения (режим измерения)	Буквенное обозначение параметра	Норма параметра		Температура корпуса, $^\circ\text{C}$
		не менее	не более	
1	2	3	4	5
Опорное напряжение, В 1395EP055Б, 1395EP051А	$U_{\text{оп}}$	1,200	1,300	$25 \pm 10$
		1,150	1,350	$-60 \pm 3$
		1,150	1,350	$125 \pm 5$
Выходное напряжение, В 1395EH05A1, 1395EH06A5Б  1395EH05Б1, 1395EH06Б5Б  1395EH05B1, 1395EH06B5Б, 1395EH05B4Б, 1395EH06B1А	$U_{\text{вых}}$	1,200	1,300	$25 \pm 10$
		1,150	1,350	$-60 \pm 3$
		1,150	1,350	$125 \pm 5$
		1,440	1,560	$25 \pm 10$
		1,380	1,620	$-60 \pm 3$
		1,380	1,620	$125 \pm 5$
		1,728	1,872	$25 \pm 10$
		1,656	1,944	$-60 \pm 3$
		1,656	1,944	$125 \pm 5$
1395EH05Г1, 1395EH06Г5Б		2,400	2,600	$25 \pm 10$
		2,300	2,700	$-60 \pm 3$
		2,300	2,700	$125 \pm 5$

*Продолжение таблицы 4*

1	2	3	4	5
1395EH05Д1, 1395EH06Д5Б	U <sub>вых</sub>	2,880 2,760 2,760	3,120 3,240 3,240	25 ± 10 -60 ± 3 125 ± 5
1395EH05Е1, 1395EH06Е5Б, 1395EH05Е4Б, 1395EH06Е1А		3,168 3,036 3,036	3,432 3,560 3,560	25 ± 10 -60 ± 3 125 ± 5
1395EH05Ж1, 1395EH06Ж5Б, 1395EH05Ж4Б, 1395EH06Ж1А		4,800 4,600 4,600	5,200 5,400 5,400	25 ± 10 -60 ± 3 125 ± 5
1395EH05И1, 1395EH06И5Б		8,640 8,280 8,280	9,360 9,720 9,720	25 ± 10 -60 ± 3 125 ± 5
1395EH05К1, 1395EH06К5Б		11,520 11,040 11,040	12,480 12,960 12,960	25 ± 10 -60 ± 3 125 ± 5
Минимальное падение напряжения, В	U <sub>ПД min</sub>	— — —	0,5 0,5 0,5	25 ± 10 -60 ± 3 125 ± 5
1395EH05Д1, 1395EH06Д5Б, 1395EH05Е1, 1395EH06Е5Б, 1395EH05Е4Б, 1395EH06Е1А, 1395EH05Ж1, 1395EH06Ж5Б, 1395EH05Ж4Б, 1395EH06Ж1А 1395EH05И1, 1395EH06И5Б, 1395EH05К1, 1395EH06К5Б				
Ток потребления, мкА	I <sub>пот</sub>	— — —	250 250 250	25 ± 10 -60 ± 3 125 ± 5
Ток короткого замыкания, А	I <sub>кз</sub>	0,50	3,00	25 ± 10

*Продолжение таблицы 4*

1	2	3	4	5
Входное напряжение низкого уровня на выводе EN, В 1395EP055Б, 1395EP051А, 1395EH06A5Б, 1395EH06B5Б, 1395EH06B5Б, 1395EH06Г5Б, 1395EH06Д5Б, 1395EH06Е5Б, 1395EH06Ж5Б, 1395EH06И5Б, 1395EH06К5Б, 1395EH06В1А, 1395EH06Е1А, 1395EH06Ж1А	$U_{\text{ВХ.Н EN}}$	— — —	0,4 0,4 0,4	$25 \pm 10$ $-60 \pm 3$ $125 \pm 5$
Входное напряжение высокого уровня на выводе EN, В 1395EP055Б, 1395EP051А, 1395EH06A5Б, 1395EH06B5Б, 1395EH06B5Б, 1395EH06Г5Б, 1395EH06Д5Б, 1395EH06Е5Б, 1395EH06Ж5Б, 1395EH06И5Б, 1395EH06К5Б, 1395EH06В1А, 1395EH06Е1А, 1395EH06Ж1А	$U_{\text{ВХ.В EN}}$	2,5 2,5 2,5	— — —	$25 \pm 10$ $-60 \pm 3$ $125 \pm 5$
Входной ток по выводу EN, мкА 1395EP055Б, 1395EP051А, 1395EH06A5Б, 1395EH06B5Б, 1395EH06B5Б, 1395EH06Г5Б, 1395EH06Д5Б, 1395EH06Е5Б, 1395EH06Ж5Б, 1395EH06И5Б, 1395EH06К5Б, 1395EH06В1А, 1395EH06Е1А, 1395EH06Ж1А	$I_{\text{ВХ.EN}}$	— — —	4 4 4	$25 \pm 10$ $-60 \pm 3$ $125 \pm 5$

#### Окончание таблицы 4

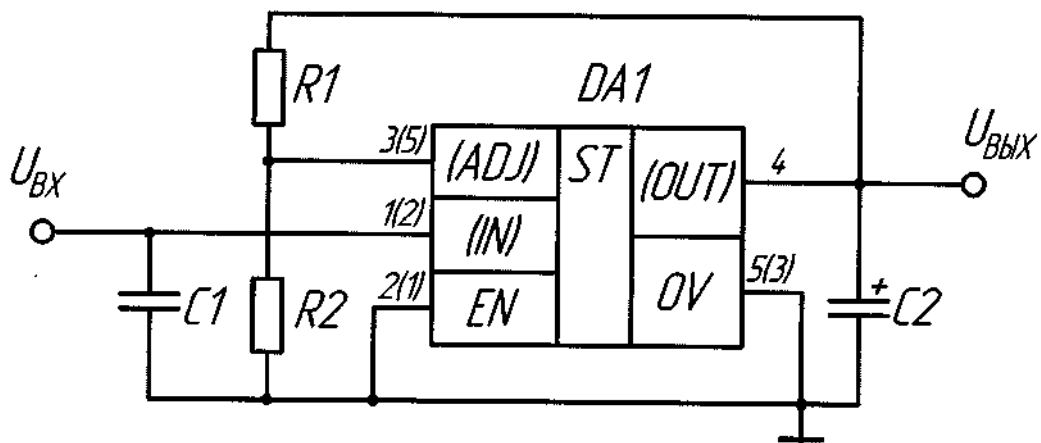
1	2	3	4	5
Ток потребления при высоком уровне напряжения на выводе EN, мкА	$I_{\text{ПОТ.В}}$	— — —	15 15 15	$25 \pm 10$ $-60 \pm 3$ $125 \pm 5$
1395EP055Б, 1395EP051А, 1395ЕН06А5Б, 1395ЕН06Б5Б, 1395ЕН06В5Б, 1395ЕН06Г5Б, 1395ЕН06Д5Б, 1395ЕН06Е5Б, 1395ЕН06Ж5Б, 1395ЕН06И5Б, 1395ЕН06К5Б, 1395ЕН06В1А, 1395ЕН06Е1А, 1395ЕН06Ж1А				
Нестабильность по напряжению, %/В	$K_U$	— — —	0,4 0,4 0,4	$25 \pm 10$ $-60 \pm 3$ $125 \pm 5$
Нестабильность по току, %/А	$K_I$	— — —	10 10 10	$25 \pm 10$ $-60 \pm 3$ $125 \pm 5$

## 4 Указания по применению и эксплуатации

4.1 При применении микросхем необходимо руководствоваться схемами электрическими функциональными.

4.2 Микросхемы состоят из подстраиваемого источника опорного напряжения, усилителя ошибки, выходного каскада, схемы защиты от превышений выходного тока, схемы защиты от превышения температуры кристалла и для микросхем 1395EP055Б, 1395EP051А, 1395ЕН06А5Б, 1395ЕН06Б5Б, 1395ЕН06В5Б, 1395ЕН06Г5Б, 1395ЕН06Д5Б, 1395ЕН06Е5Б, 1395ЕН06Ж5Б, 1395ЕН06И5Б, 1395ЕН06К5Б, 1395ЕН06В1А, 1395ЕН06Е1А, 1395ЕН06Ж1А схемы переключения в режим низкого энергопотребления.

4.3 Типовая схема включения микросхем приведена на рисунках 1 – 3.



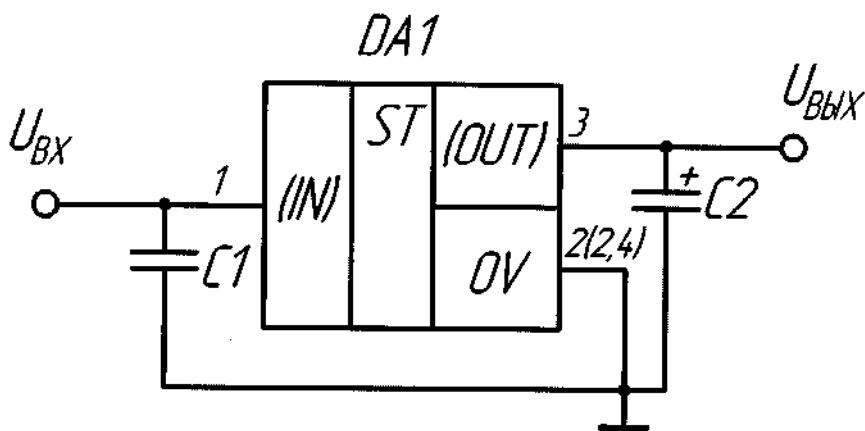
$$U_{\text{вых}} = U_{\text{оп}} \cdot (1 + R1/R2);$$

R1, R2 – резисторы,  $R1 \leq 860 \text{ кОм}$ ,  $R2 = 100 \text{ кОм} \pm 1 \%$ .

DA1 – микросхема;

C1, C2 – конденсаторы,  $C1 = 1 \text{ мкФ} \pm 20 \%$ ,  $C2 = 10 \text{ мкФ} \pm 20 \%$ .

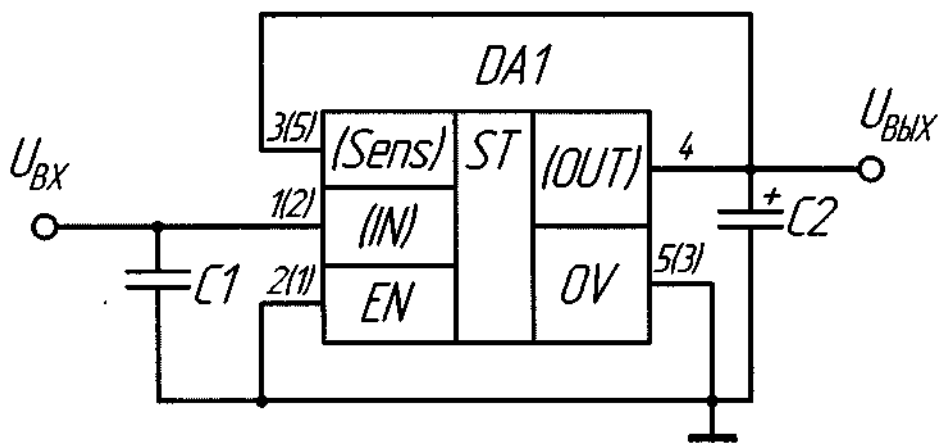
Рисунок 1 – Типовая схема включения микросхем 1395EP055Б, 1395EP051А



DA1 – микросхема;

C1, C2 – конденсаторы,  $C1 = 1 \text{ мкФ} \pm 20 \%$ ,  $C2 = 10 \text{ мкФ} \pm 20 \%$ .

Рисунок 2 – Типовая схема включения микросхем 1395EH05A1, 1395EH05Б1, 1395EH05Б1, 1395EH05Г1, 1395EH05Д1, 1395EH05Е1, 1395EH05Ж1, 1395EH05И1, 1395EH05К1, 1395EH05В4Б, 1395EH05Е4Б, 1395EH05Ж4Б



DA1 – микросхема;

$C_1, C_2$  – конденсаторы,  $C_1 = 1 \text{ мкФ} \pm 20\%$ ,  $C_2 = 10 \text{ мкФ} \pm 20\%$ .

Рисунок 3 – Типовая схема включения микросхем 1395EH06A5Б,  
1395EH06Б5Б, 1395EH06В5Б, 1395EH06Г5Б, 1395EH06Д5Б,  
1395EH06Е5Б, 1395EH06Ж5Б, 1395EH06И5Б, 1395EH06К5Б,  
1395EH06B1A, 1395EH06E1A, 1395EH06Ж1A

## 5 Типовые характеристики

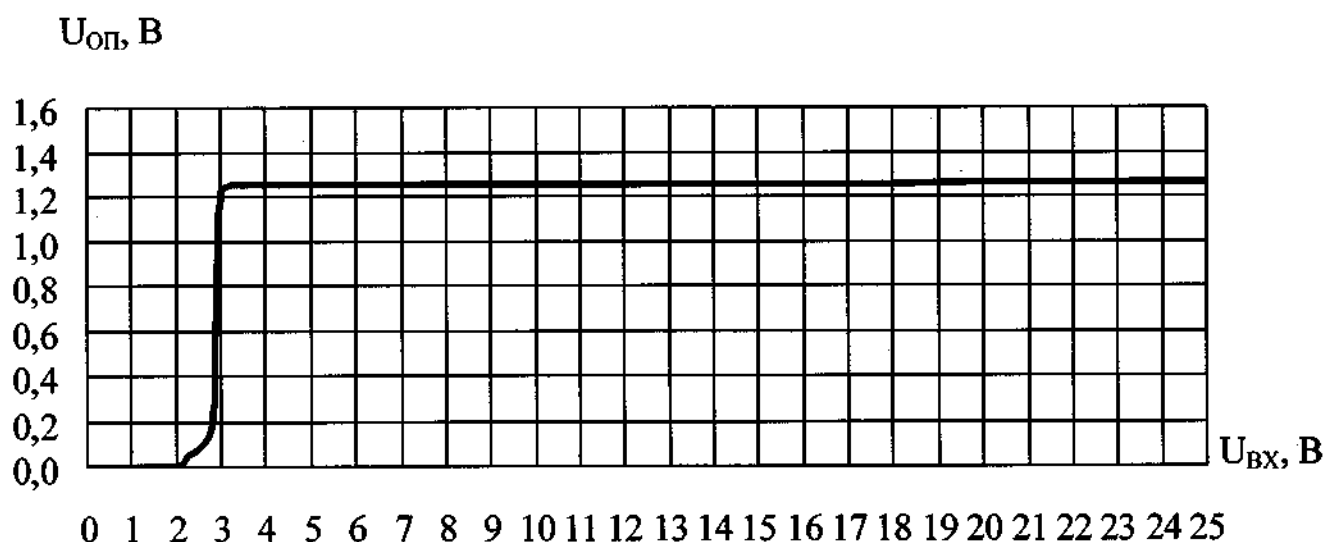


Рисунок 4 – Типовая зависимость опорного напряжения  $U_{\text{оп}}$  от входного напряжения  $U_{\text{вх}}$  при  $I_{\text{вых}} = 0,5 \text{ А}$ ,  $T_{\text{КОР}} = (25 \pm 10) \text{ }^{\circ}\text{C}$  микросхем 1395ЕР055Б, 1395ЕР051А

$U_{\text{оп}}$ , В

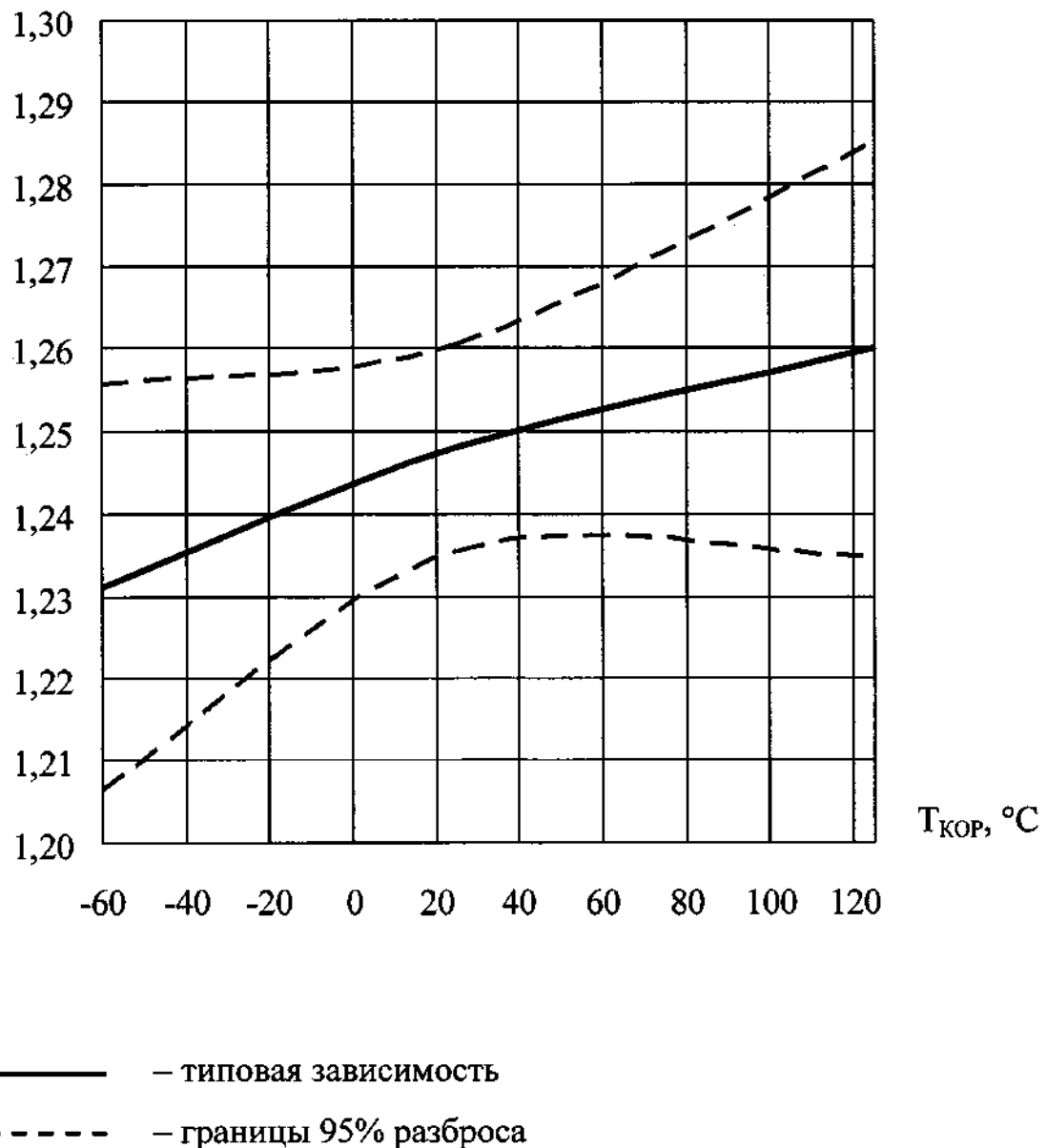


Рисунок 5 – Типовая зависимость опорного напряжения  $U_{\text{оп}}$  от температуры корпуса  $T_{\text{кор}}$  при  $U_{\text{вх}} = 3,5$  В,  $I_{\text{вых}} = 0,5$  А  
микросхем 1395EP055Б, 1395EP051А

$U_{\text{вых}}$ , В

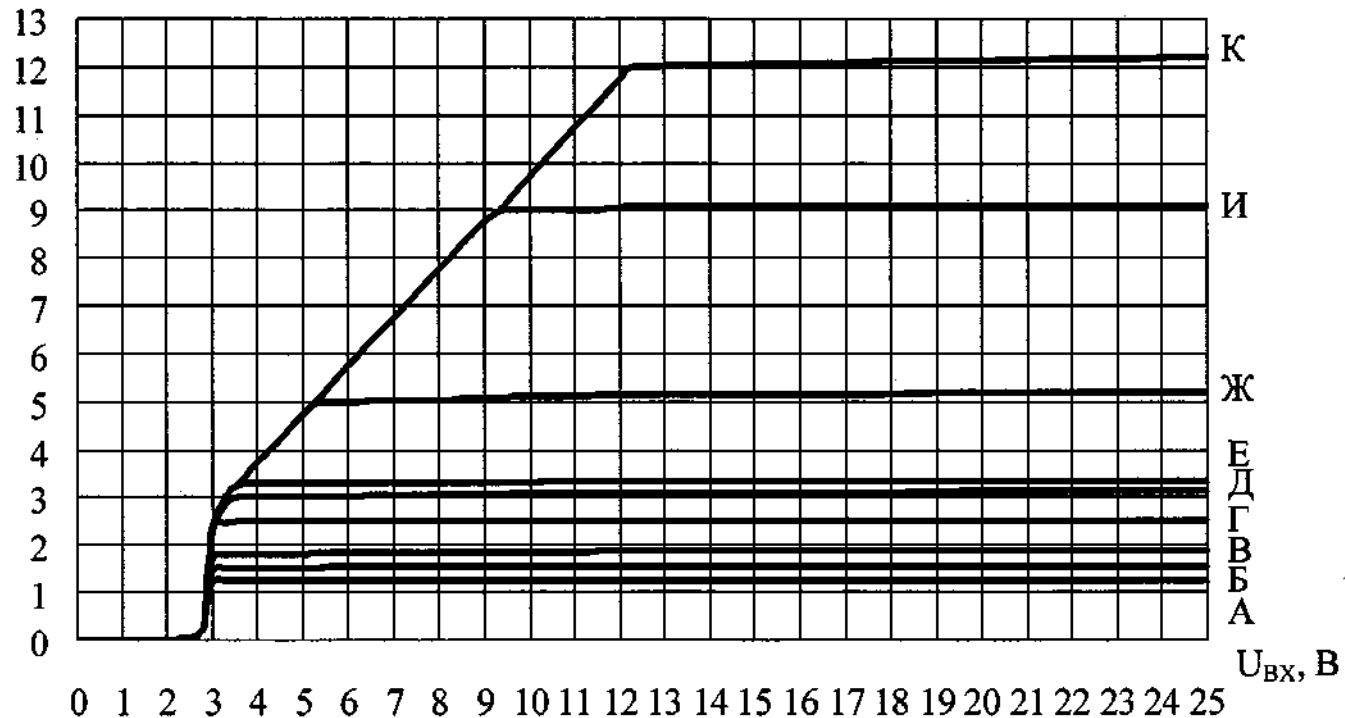


Рисунок 6 – Типовые зависимости выходного напряжения  $U_{\text{вых}}$  от входного напряжения  $U_{\text{вх}}$  при  $I_{\text{вых}} = 0,5 \text{ A}$ ,  $T_{\text{КОР}} = (25 \pm 10) \text{ }^{\circ}\text{C}$  микросхем типов 1395EH05, 1395EH06

$U_{\text{вых}}$ , В

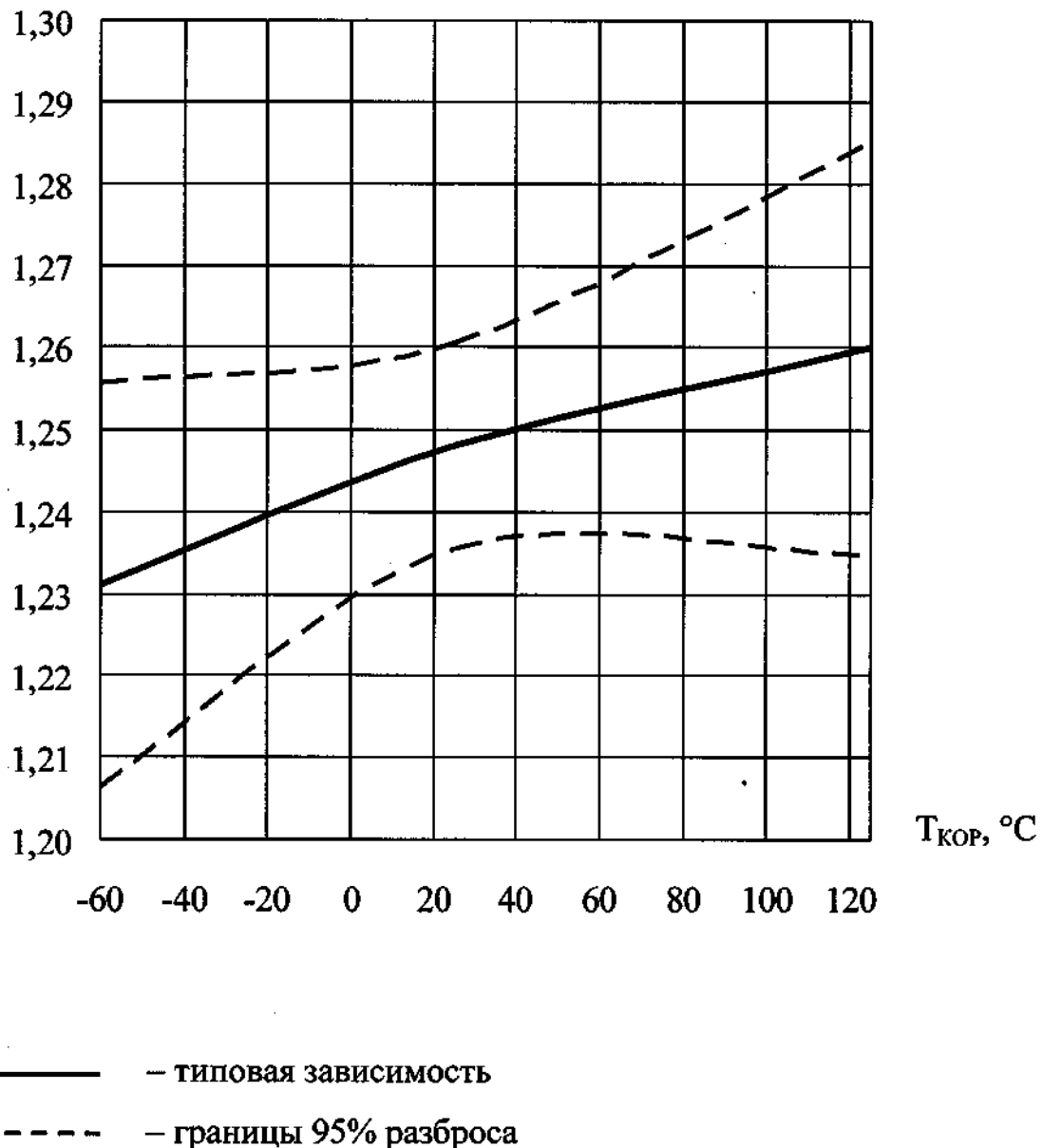


Рисунок 7 – Типовая зависимость выходного напряжения  $U_{\text{вых}}$  от температуры корпуса  $T_{\text{кор}}$  при  $U_{\text{вх}} = 3,5$  В,  $I_{\text{вых}} = 0,5$  А  
микросхем 1395EH05A1, 1395EH06A5Б

$U_{\text{вых}}$ , В

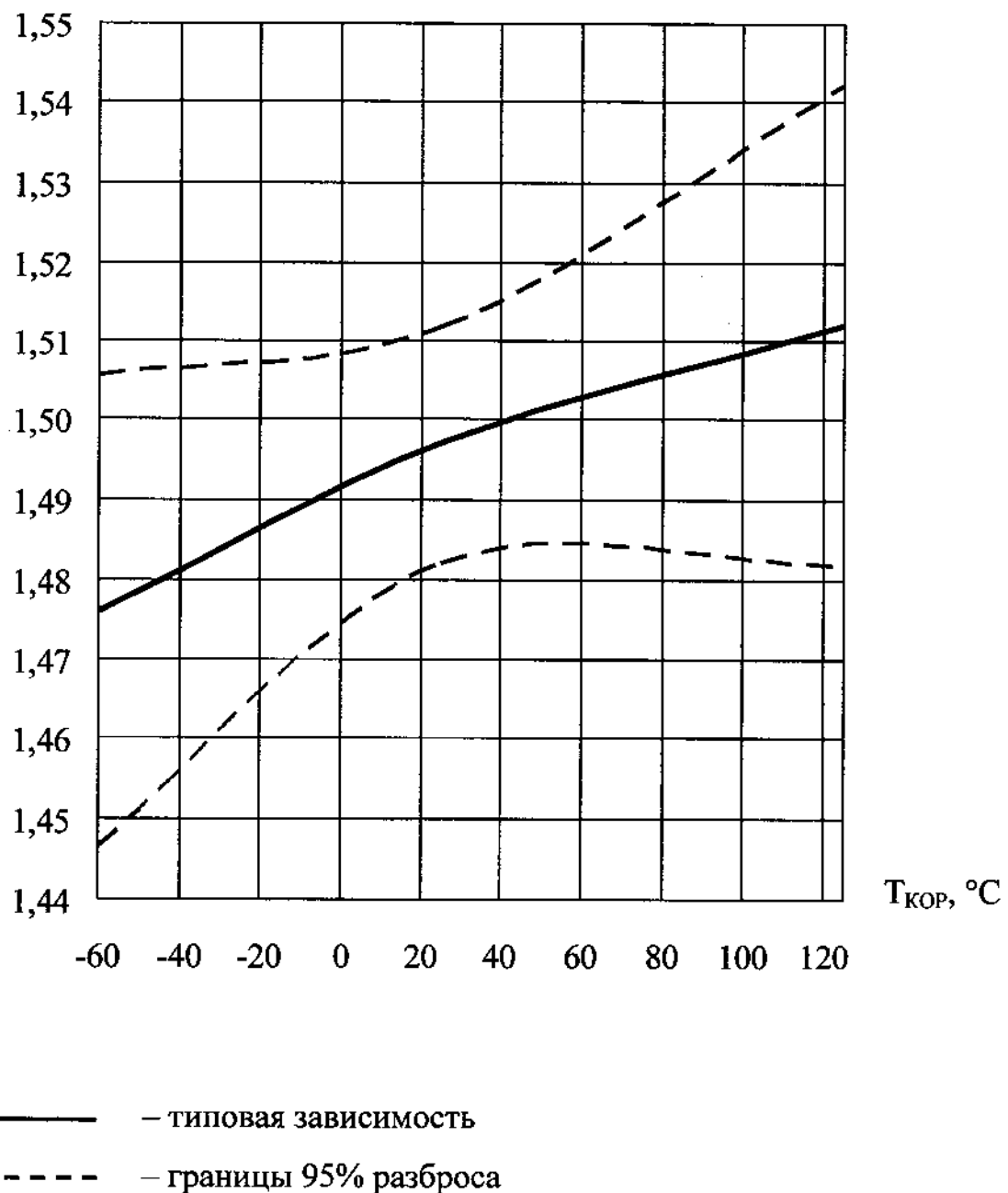


Рисунок 8 – Типовая зависимость выходного напряжения  $U_{\text{вых}}$  от температуры корпуса  $T_{\text{кор}}$  при  $U_{\text{вх}} = 3,5$  В,  $I_{\text{вых}} = 0,5$  А  
микросхем 1395ЕН05Б1, 1395ЕН06Б5Б

$U_{\text{вых}}$ , В

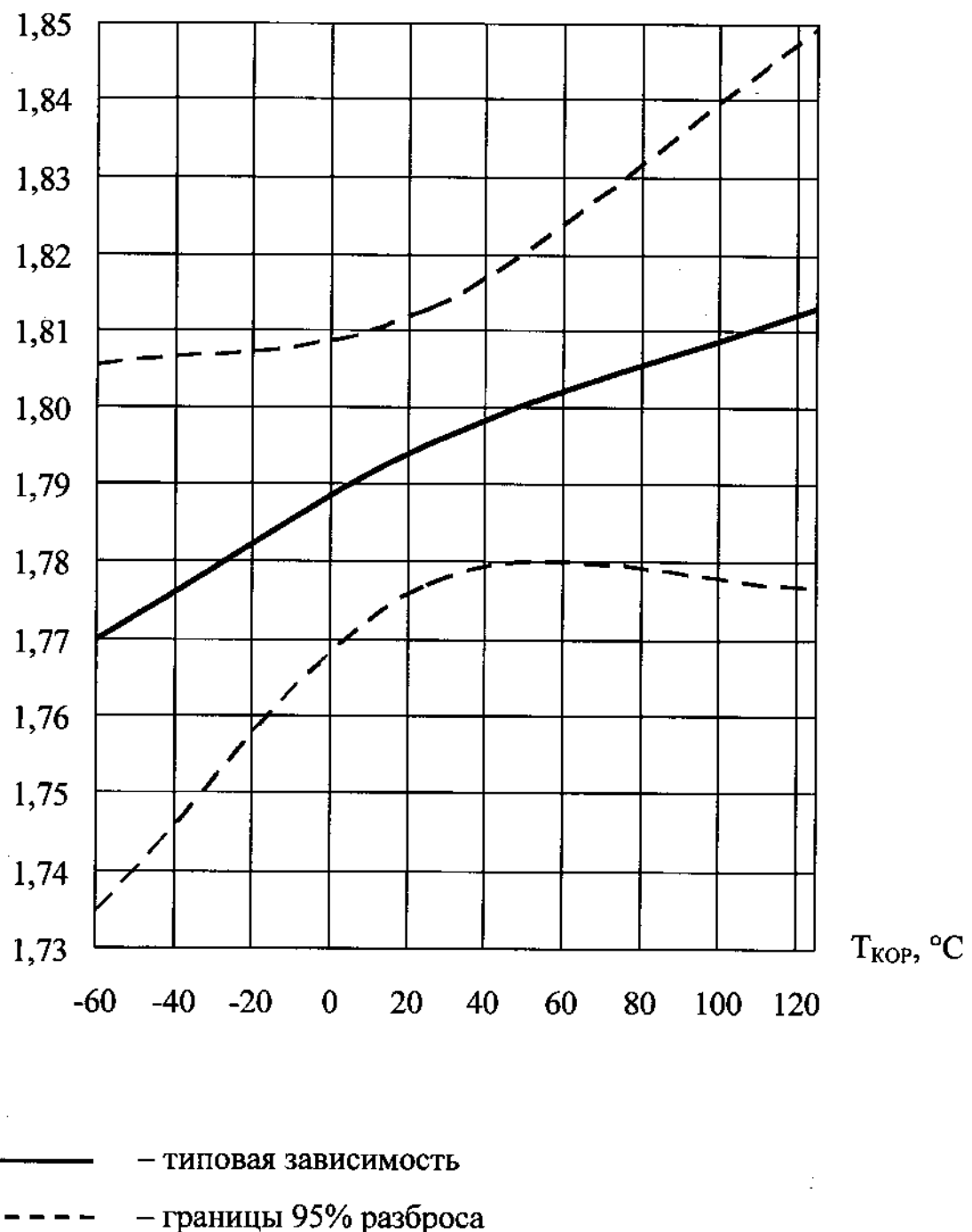
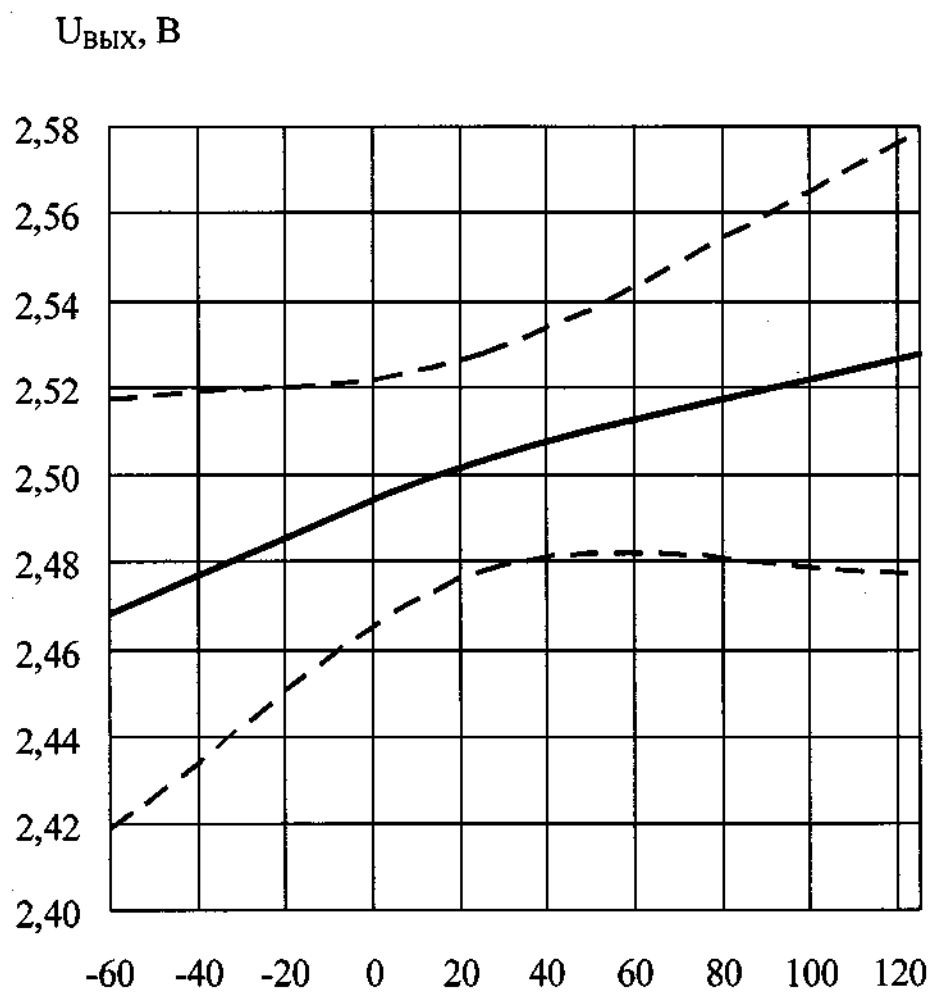


Рисунок 9 – Типовая зависимость выходного напряжения  $U_{\text{вых}}$  от температуры корпуса  $T_{\text{кор}}$  при  $U_{\text{вх}} = 3,5$  В,  $I_{\text{вых}} = 0,5$  А  
микросхем 1395ЕН05В1, 1395ЕН06В5Б, 1395ЕН05В4Б, 1395ЕН06В1А



— типовая зависимость  
 - - - - - — границы 95% разброса

Рисунок 10 – Типовая зависимость выходного напряжения  $U_{\text{вых}}$  от температуры корпуса  $T_{\text{кор}}$  при  $U_{\text{вх}} = 3,5$  В,  $I_{\text{вых}} = 0,5$  А  
 микросхем 1395ЕН05Г1, 1395ЕН06Г5Б

$U_{\text{вых}}$ , В

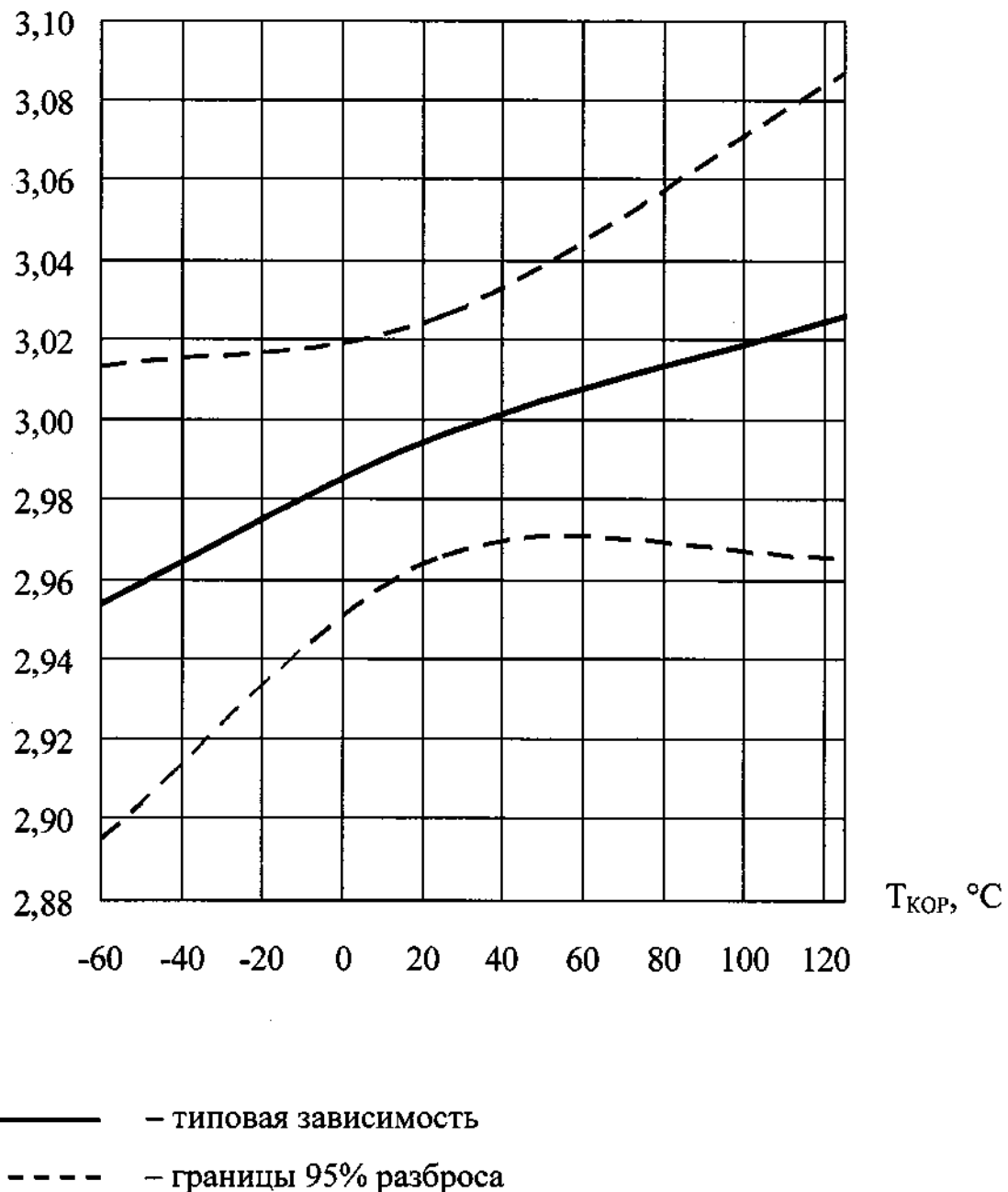


Рисунок 11 – Типовая зависимость выходного напряжения  $U_{\text{вых}}$  от температуры корпуса  $T_{\text{кор}}$  при  $U_{\text{вх}} = 3,5$  В,  $I_{\text{вых}} = 0,5$  А  
микросхем 1395EH05Д1, 1395EH06Д5Б

$U_{\text{вых}}$ , В

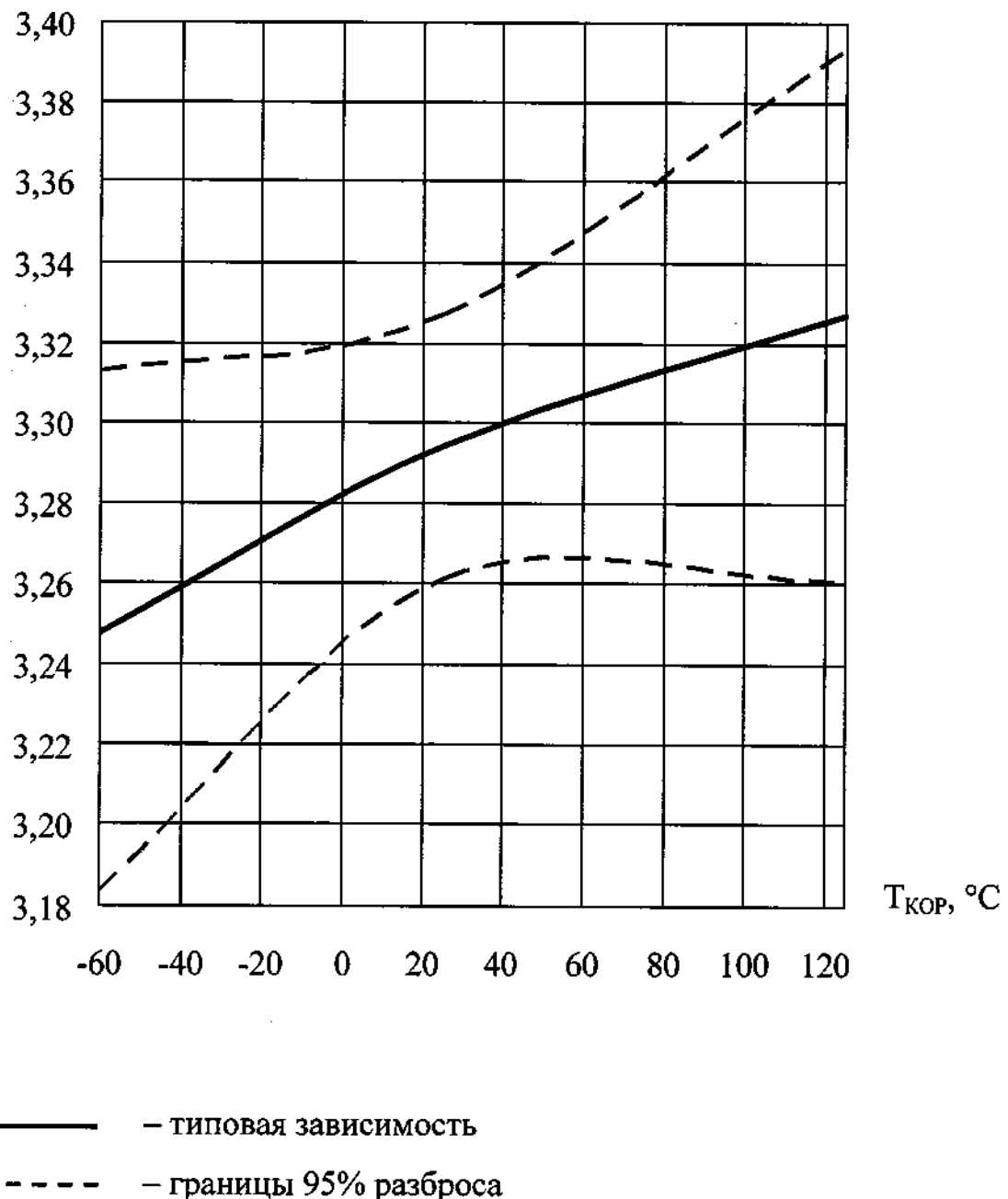
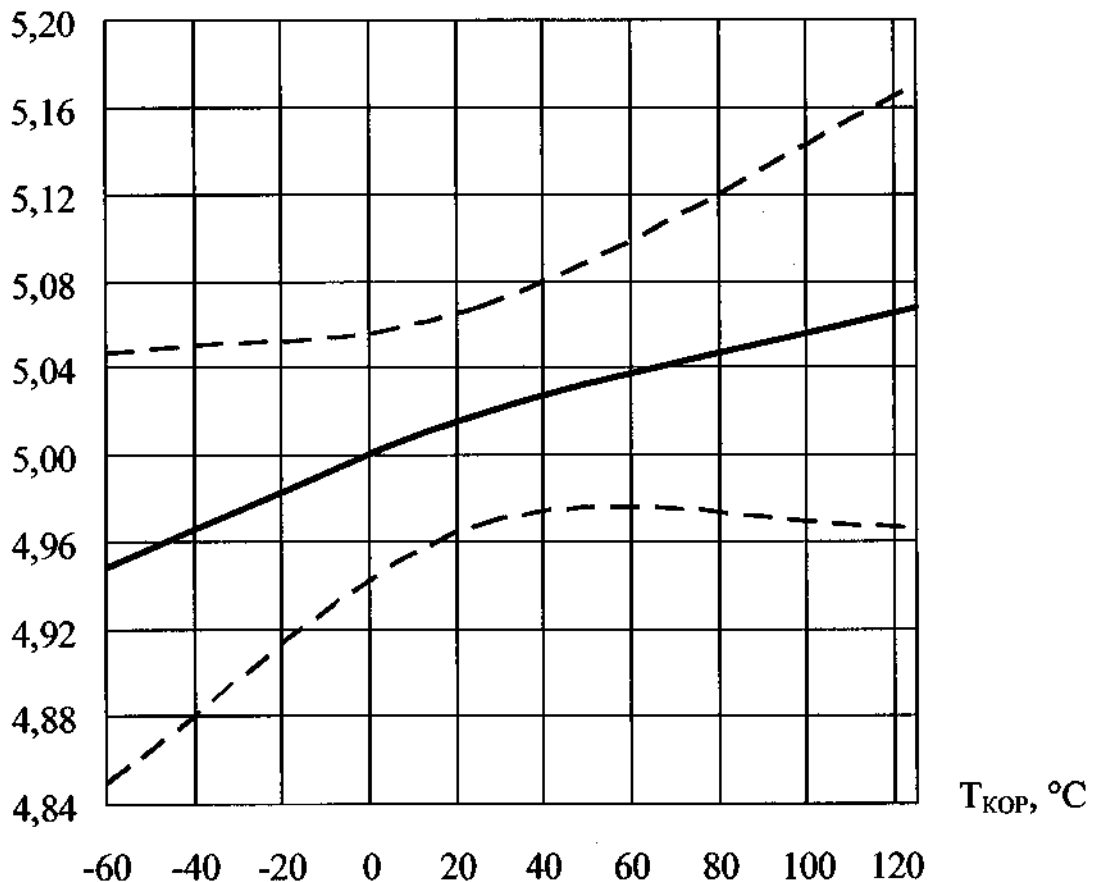


Рисунок 12 – Типовая зависимость выходного напряжения  $U_{\text{вых}}$  от температуры корпуса  $T_{\text{кор}}$  при  $U_{\text{вх}} = 3,8$  В,  $I_{\text{вых}} = 0,5$  А  
микросхем 1395EH05E1, 1395EH06E5Б, 1395EH05E4Б, 1395EH06E1А

$U_{\text{вых}}$ , В



— типовая зависимость  
- - - - - — границы 95% разброса

Рисунок 13 – Типовая зависимость выходного напряжения  $U_{\text{вых}}$  от температуры корпуса  $T_{\text{кор}}$  при  $U_{\text{вх}} = 5,5$  В,  $I_{\text{вых}} = 0,5$  А  
микросхем 1395ЕН05Ж1, 1395ЕН06Ж5Б, 1395ЕН05Ж4Б, 1395ЕН06Ж1А

$U_{\text{ВЫХ}}$ , В

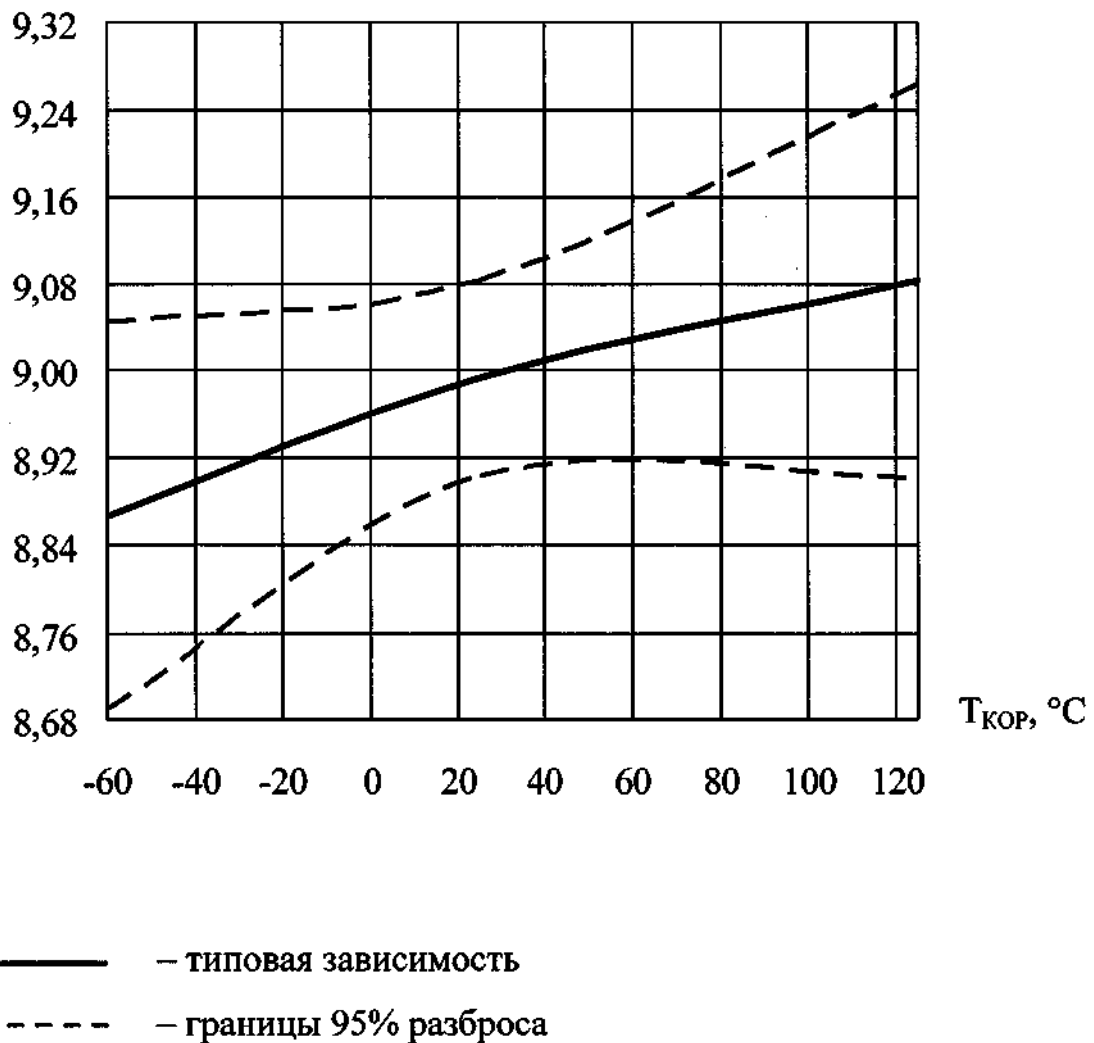


Рисунок 14 – Типовая зависимость выходного напряжения  $U_{\text{ВЫХ}}$  от температуры корпуса  $T_{\text{КОР}}$  при  $U_{\text{ВХ}} = 9,5$  В,  $I_{\text{ВЫХ}} = 0,5$  А  
микросхем 1395ЕН05И1, 1395ЕН06И5Б

$U_{\text{вых}}$ , В

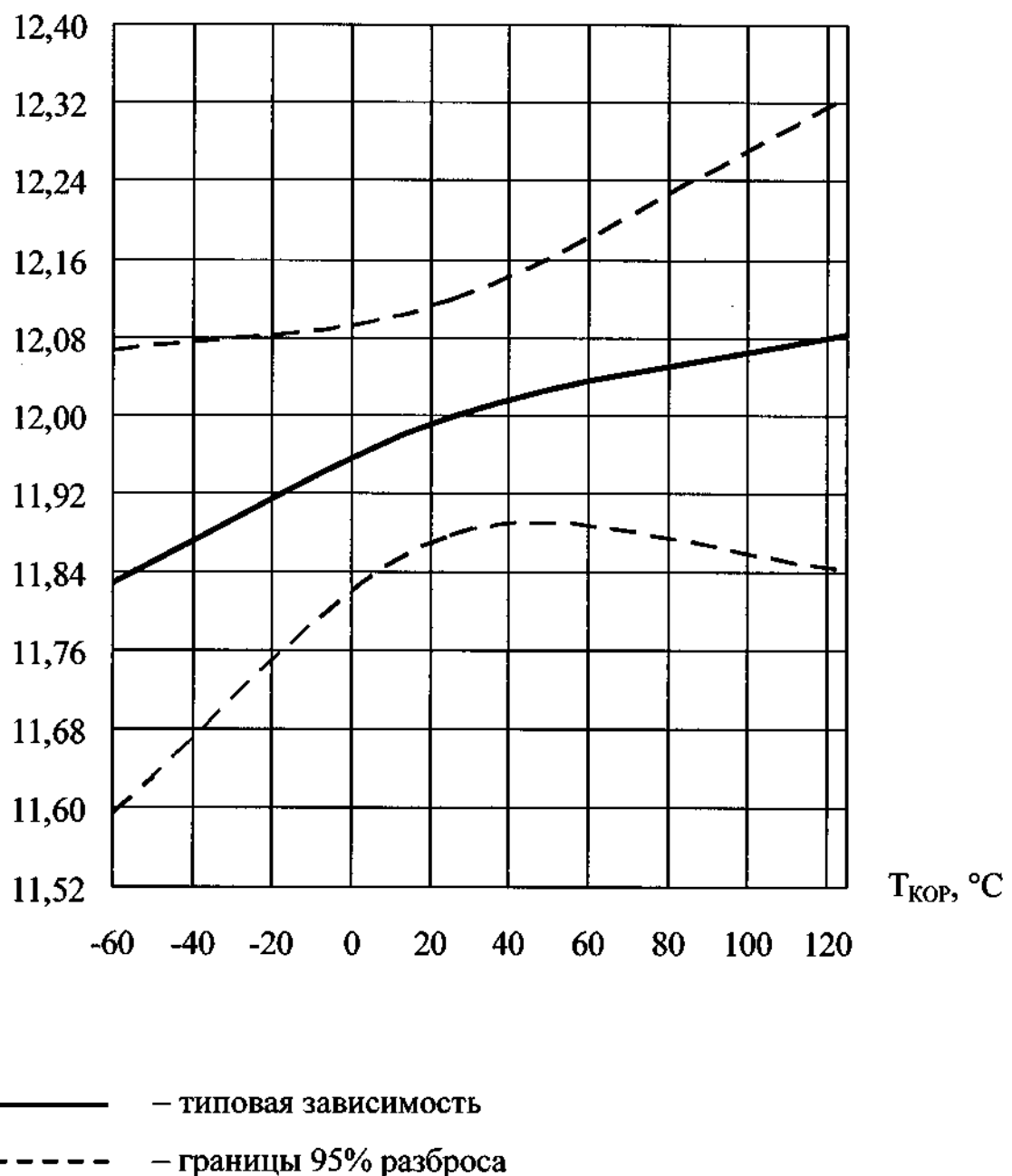
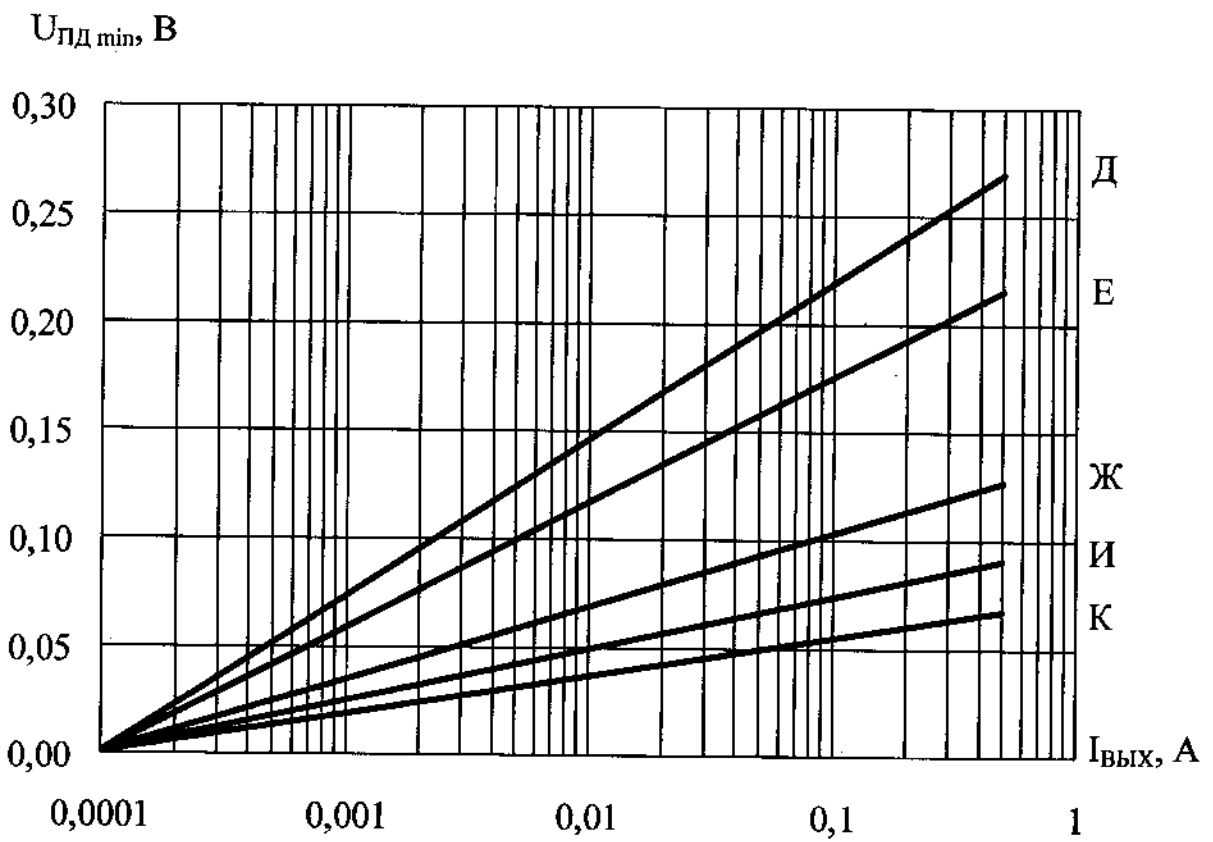


Рисунок 15 – Типовая зависимость выходного напряжения  $U_{\text{вых}}$  от температуры корпуса  $T_{\text{кор}}$  при  $U_{\text{вх}} = 12,5$  В,  $I_{\text{вых}} = 0,5$  А  
микросхем 1395ЕН05К1, 1395ЕН06К5Б



1395EH05Д1, 1395EH06Д5Б при  $U_{ВХ} = 3,5$  В;

1395EH05Е1, 1395EH06Е5Б, 1395EH05Е4Б, 1395EH06Е1А при  $U_{ВХ} = 3,8$  В;

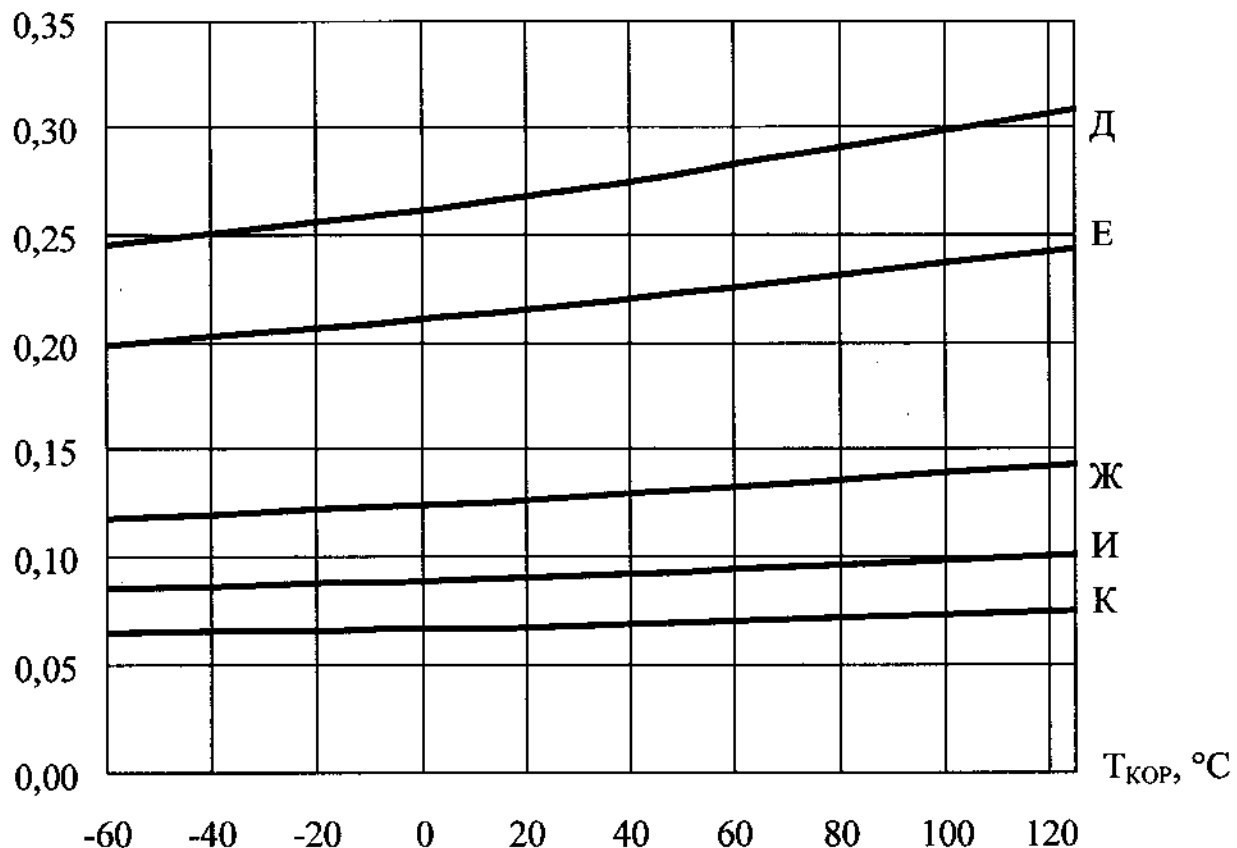
1395EH05Ж1, 1395EH06Ж5Б, 1395EH05Ж4Б, 1395EH06Ж1А при  $U_{ВХ} = 5,5$  В;

1395EH05И1, 1395EH06И5Б при  $U_{ВХ} = 9,5$  В;

1395EH05К1, 1395EH06К5Б при  $U_{ВХ} = 12,5$  В.

Рисунок 16 – Типовые зависимости минимального падения напряжения  $U_{PD \min}$  от выходного тока  $I_{VYX}$  при  $T_{КОР} = (25 \pm 10)^\circ\text{C}$  микросхем

$U_{PD\min}$ , В



1395EH05Д1, 1395EH06Д5Б при  $U_{ВХ} = 3,5$  В;

1395EH05Е1, 1395EH06Е5Б, 1395EH05Е4Б, 1395EH06Е1А при  $U_{ВХ} = 3,8$  В;

1395EH05Ж1, 1395EH06Ж5Б, 1395EH05Ж4Б, 1395EH06Ж1А при  $U_{ВХ} = 5,5$  В;

1395EH05И1, 1395EH06И5Б при  $U_{ВХ} = 9,5$  В;

1395EH05К1, 1395EH06К5Б при  $U_{ВХ} = 12,5$  В.

Рисунок 17 – Типовые зависимости минимального падения напряжения  $U_{PD\min}$  от температуры корпуса  $T_{KOP}$  при  $I_{вых} = 0,5$  А микросхем

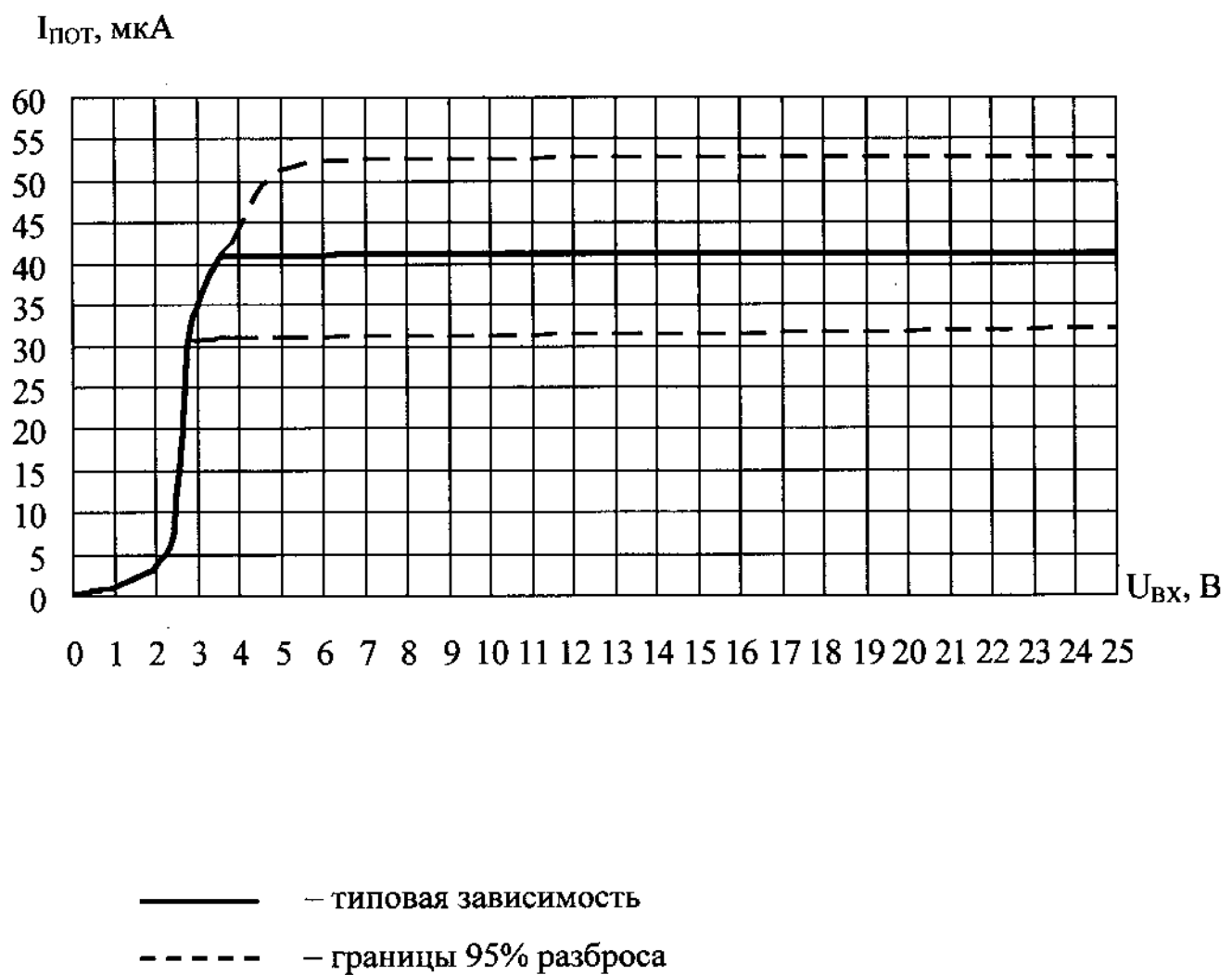


Рисунок 18 – Типовая зависимость тока потребления I<sub>пот</sub> от входного напряжения U<sub>ВХ</sub> при I<sub>вых</sub> = 0,005 А, T<sub>КОР</sub> = (25 ± 10) °С

$I_{\text{ПОТ}}$ , мкА

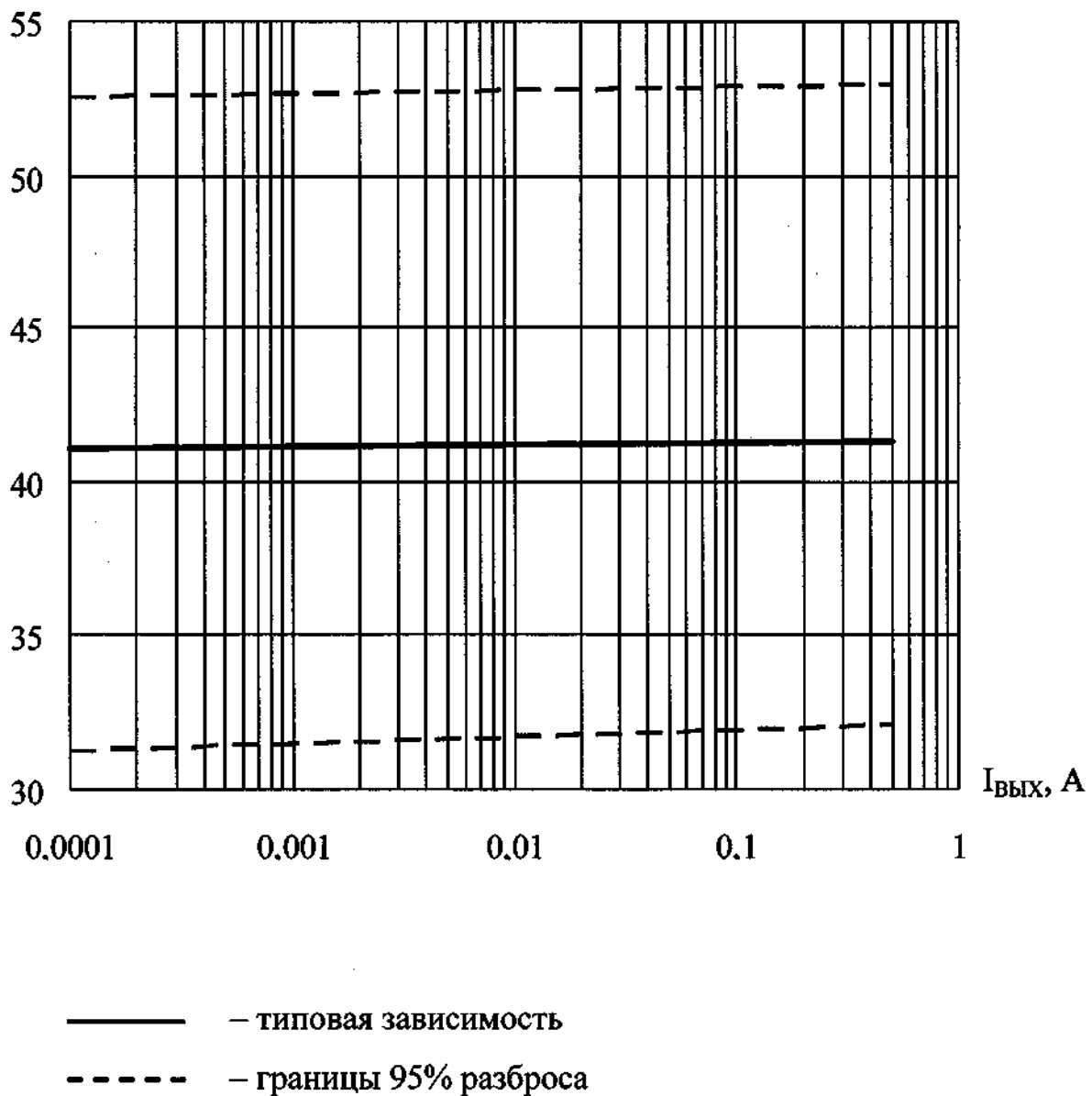


Рисунок 19 – Типовая зависимость тока потребления  $I_{\text{ПОТ}}$  от выходного тока  $I_{\text{ВЫХ}}$  при  $U_{\text{ВХ}} = 24 \text{ В}$ ,  $T_{\text{КОР}} = (25 \pm 10) ^{\circ}\text{C}$

$I_{\text{ПОТ}}$ , мА

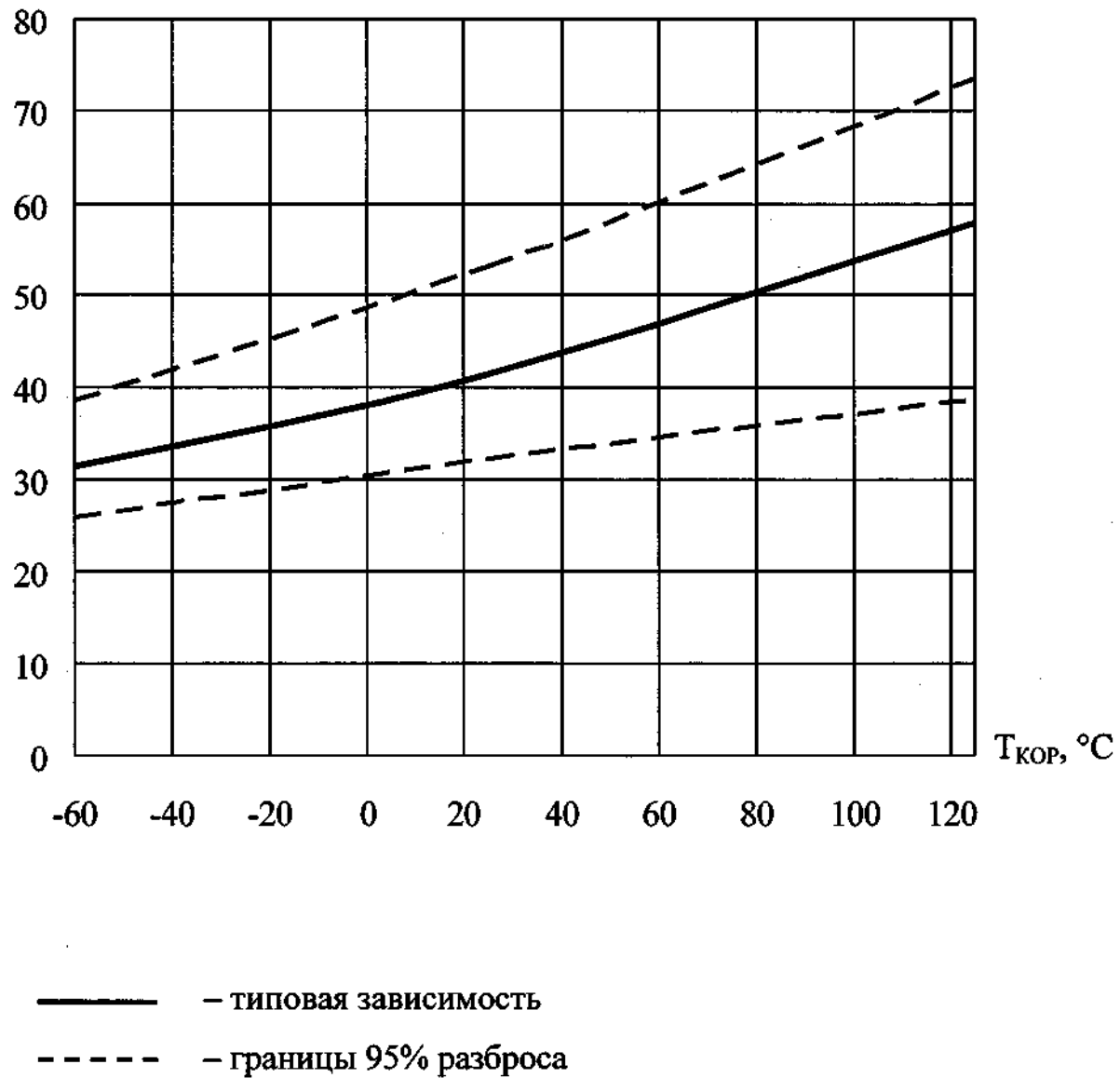
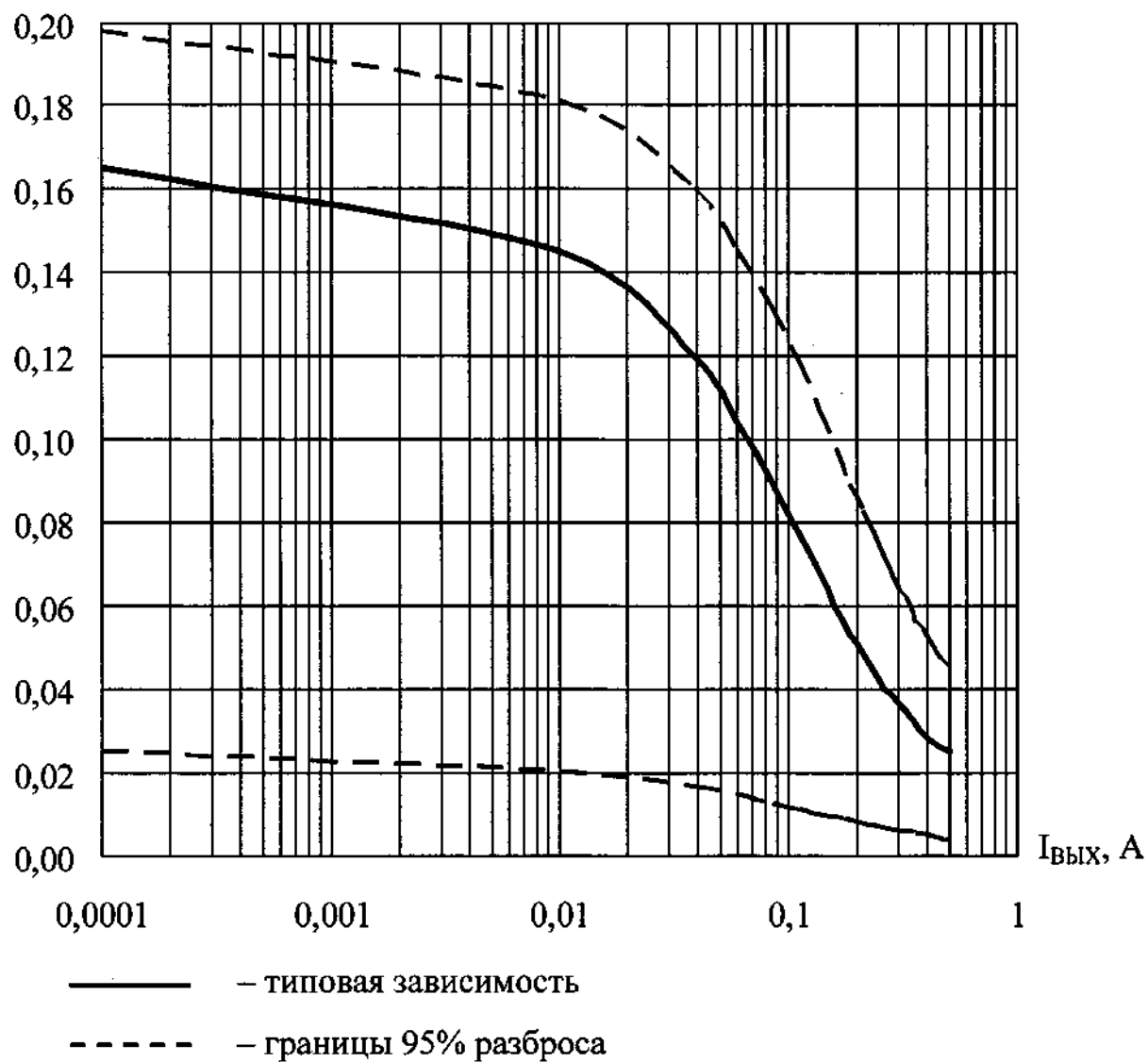


Рисунок 20 – Типовая зависимость тока потребления  $I_{\text{ПОТ}}$  от температуры корпуса  $T_{\text{КОР}}$  при  $U_{\text{ВХ}} = 24 \text{ В}$ ,  $I_{\text{ВЫХ}} = 0,005 \text{ А}$

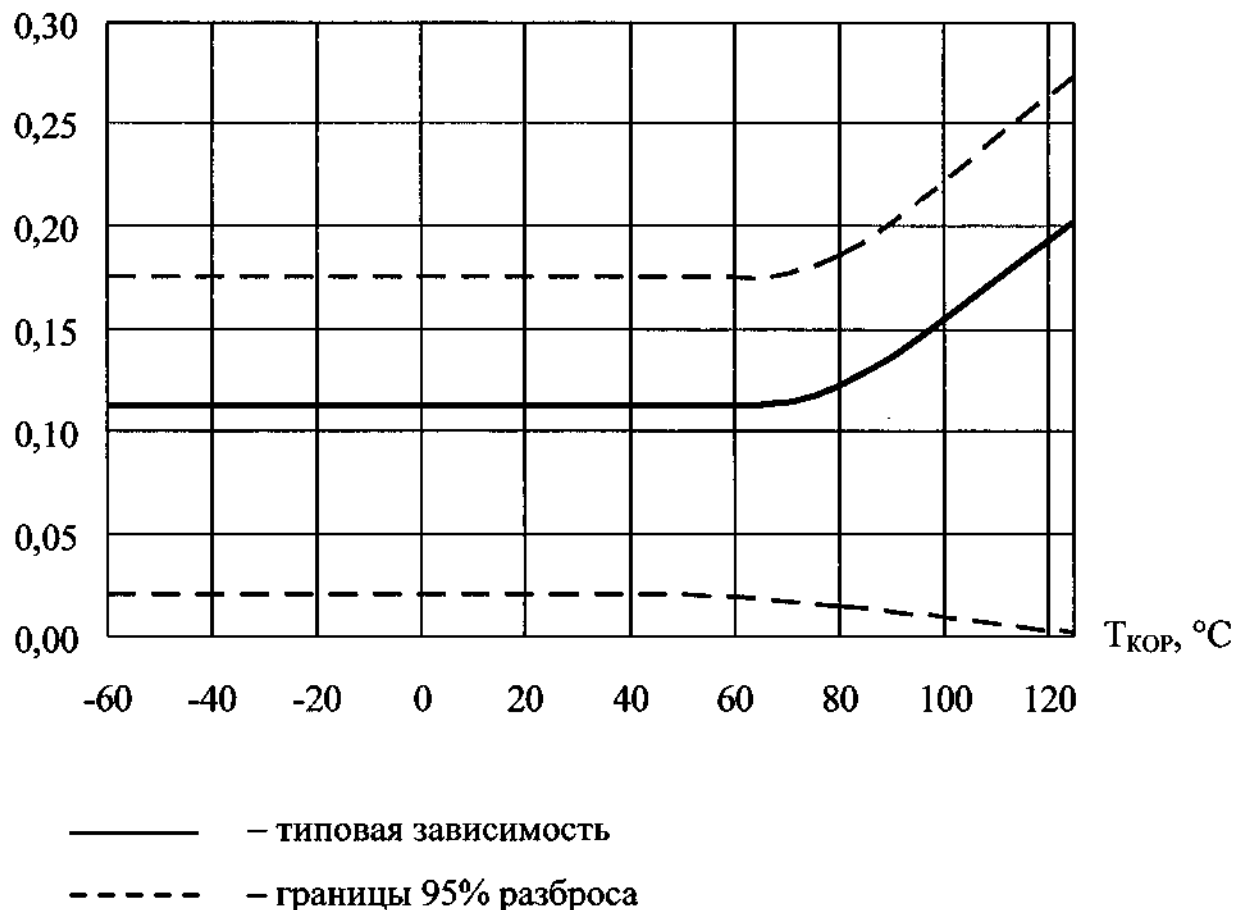
$K_U$ , %/В



1395EP055Б, 1395EP051А, 1395EH05A1, 1395EH06A5Б, 1395EH05Б1,  
1395EH06Б5Б, 1395EH05B1, 1395EH06B5Б, 1395EH05B4Б, 1395EH06B1А,  
1395EH05Г1, 1395EH06Г5Б, 1395EH05Д1, 1395EH06Д5Б  
при  $U_{\text{вх}} = 3,5$  В,  $\Delta U_{\text{вх}} = 20,5$  В;  
1395EH05Е1, 1395EH06Е5Б, 1395EH05Е4Б, 1395EH06Е1А  
при  $U_{\text{вх}} = 3,8$  В,  $\Delta U_{\text{вх}} = 20,2$  В;  
1395EH05Ж1, 1395EH06Ж5Б, 1395EH05Ж4Б, 1395EH06Ж1А  
при  $U_{\text{вх}} = 5,5$  В,  $\Delta U_{\text{вх}} = 18,5$  В;  
1395EH05И1, 1395EH06И5Б при  $U_{\text{вх}} = 9,5$  В,  $\Delta U_{\text{вх}} = 14,5$  В;  
1395EH05К1, 1395EH06К5Б при  $U_{\text{вх}} = 12,5$  В,  $\Delta U_{\text{вх}} = 11,5$  В.

Рисунок 21 – Типовая зависимость нестабильности по напряжению  $K_U$   
от выходного тока  $I_{\text{вых}}$  при  $T_{\text{КОР}} = (25 \pm 10)$  °С микросхем

$K_U$ , %/В



1395EP055Б, 1395EP051А, 1395EH05А1, 1395EH06А5Б, 1395EH05Б1,  
1395EH06Б5Б, 1395EH05В1, 1395EH06В5Б, 1395EH05В4Б, 1395EH06В1А,  
1395EH05Г1, 1395EH06Г5Б, 1395EH05Д1, 1395EH06Д5Б  
при  $U_{ВХ} = 3,5$  В,  $\Delta U_{ВХ} = 20,5$  В;  
1395EH05Е1, 1395EH06Е5Б, 1395EH05Е4Б, 1395EH06Е1А  
при  $U_{ВХ} = 3,8$  В,  $\Delta U_{ВХ} = 20,2$  В;  
1395EH05Ж1, 1395EH06Ж5Б, 1395EH05Ж4Б, 1395EH06Ж1А  
при  $U_{ВХ} = 5,5$  В,  $\Delta U_{ВХ} = 18,5$  В;  
1395EH05И1, 1395EH06И5Б при  $U_{ВХ} = 9,5$  В,  $\Delta U_{ВХ} = 14,5$  В;  
1395EH05К1, 1395EH06К5Б при  $U_{ВХ} = 12,5$  В,  $\Delta U_{ВХ} = 11,5$  В.

Рисунок 22 — Типовая зависимость нестабильности по напряжению  $K_U$  от температуры корпуса  $T_{КОР}$  при  $I_{вых} = 0,05$  А микросхем

$K_I$ , %/A

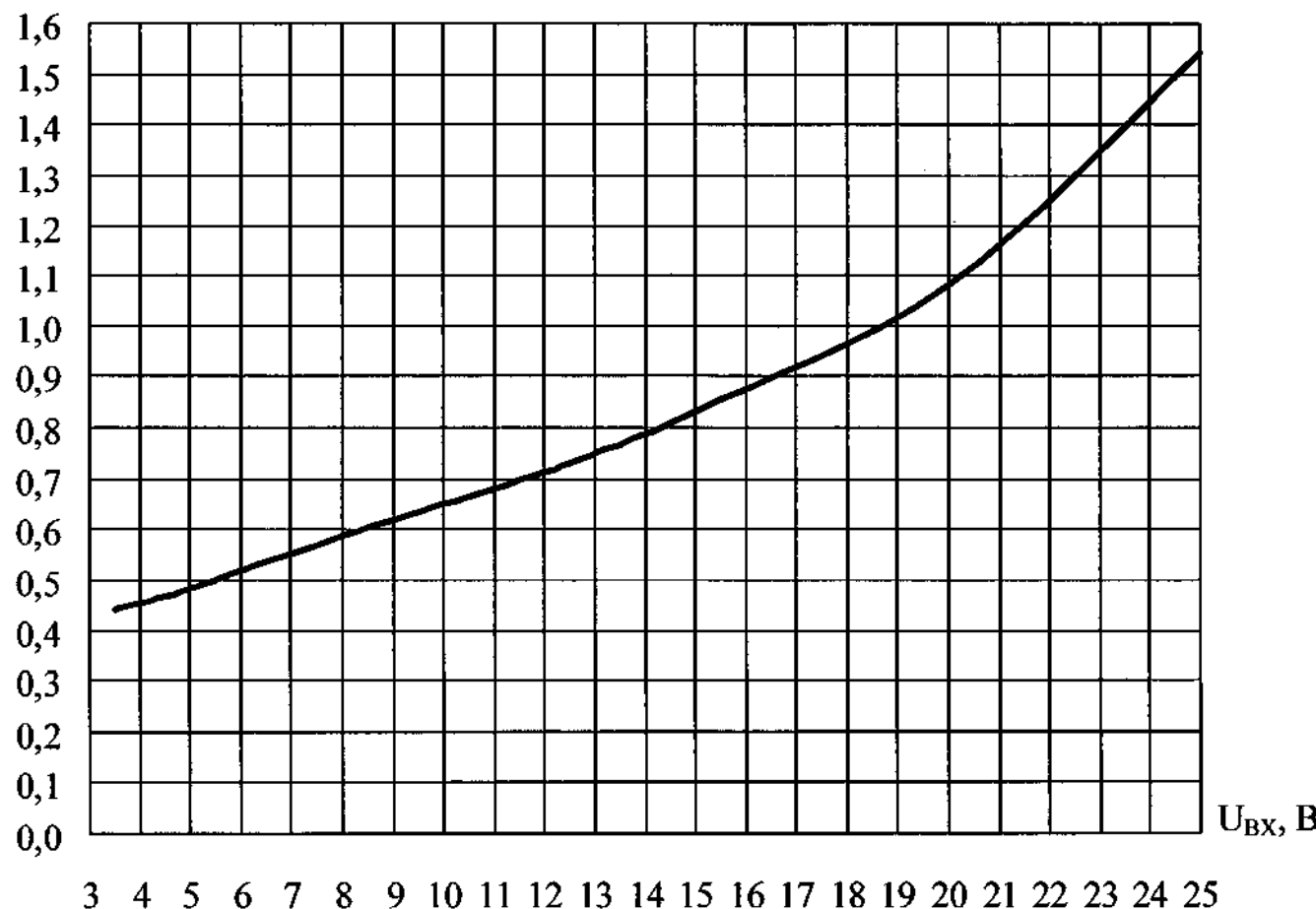


Рисунок 23 – Типовая зависимость нестабильности по току  $K_I$  от входного напряжения  $U_{BX}$  при  $I_{\text{вых}} = 0,005$  А,  $\Delta I_{\text{вых}} = 0,495$  А,  $T_{\text{КОР}} = (25 \pm 10)$  °С  
микросхем 1395ЕР055Б, 1395ЕР051А

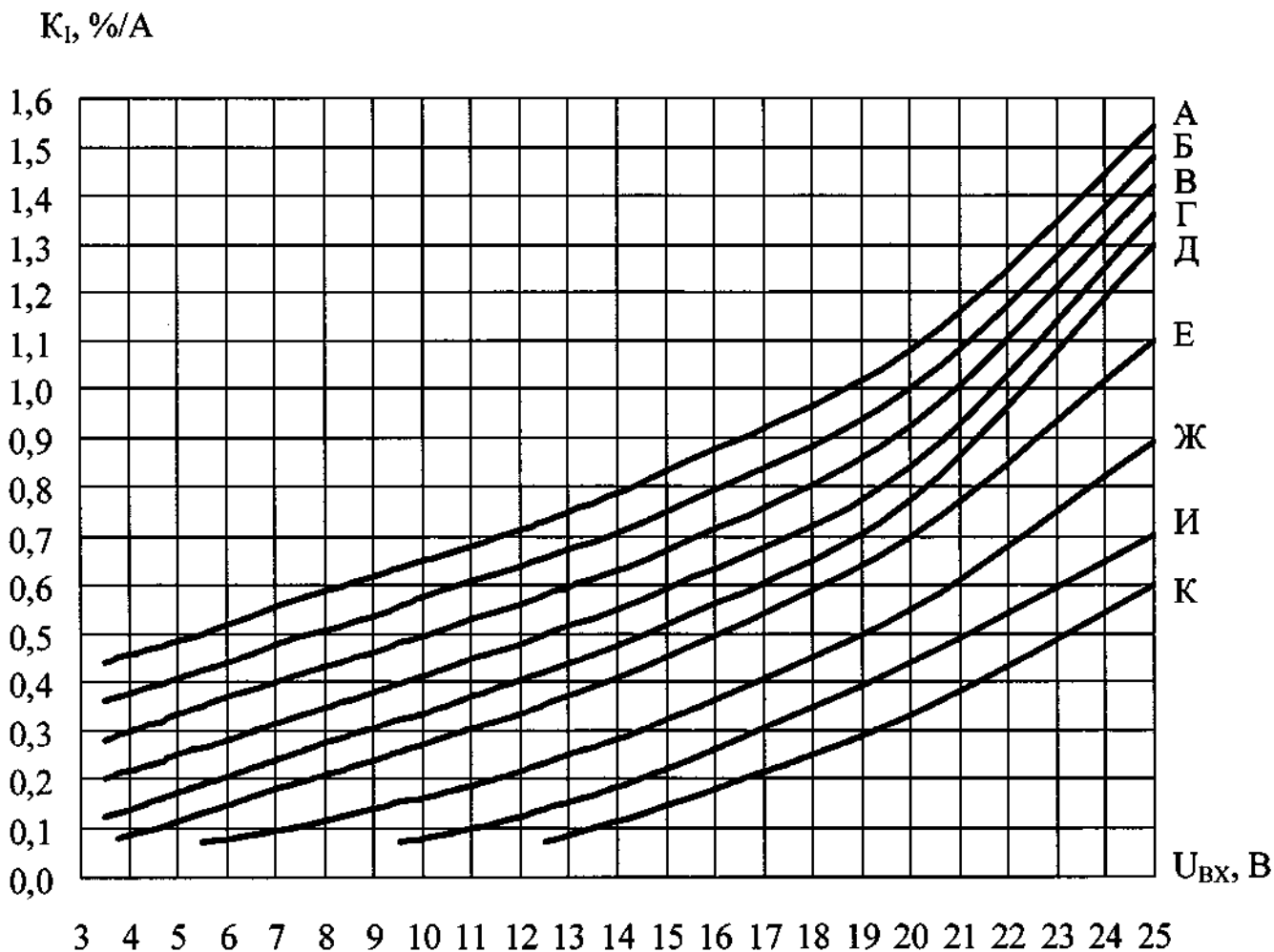
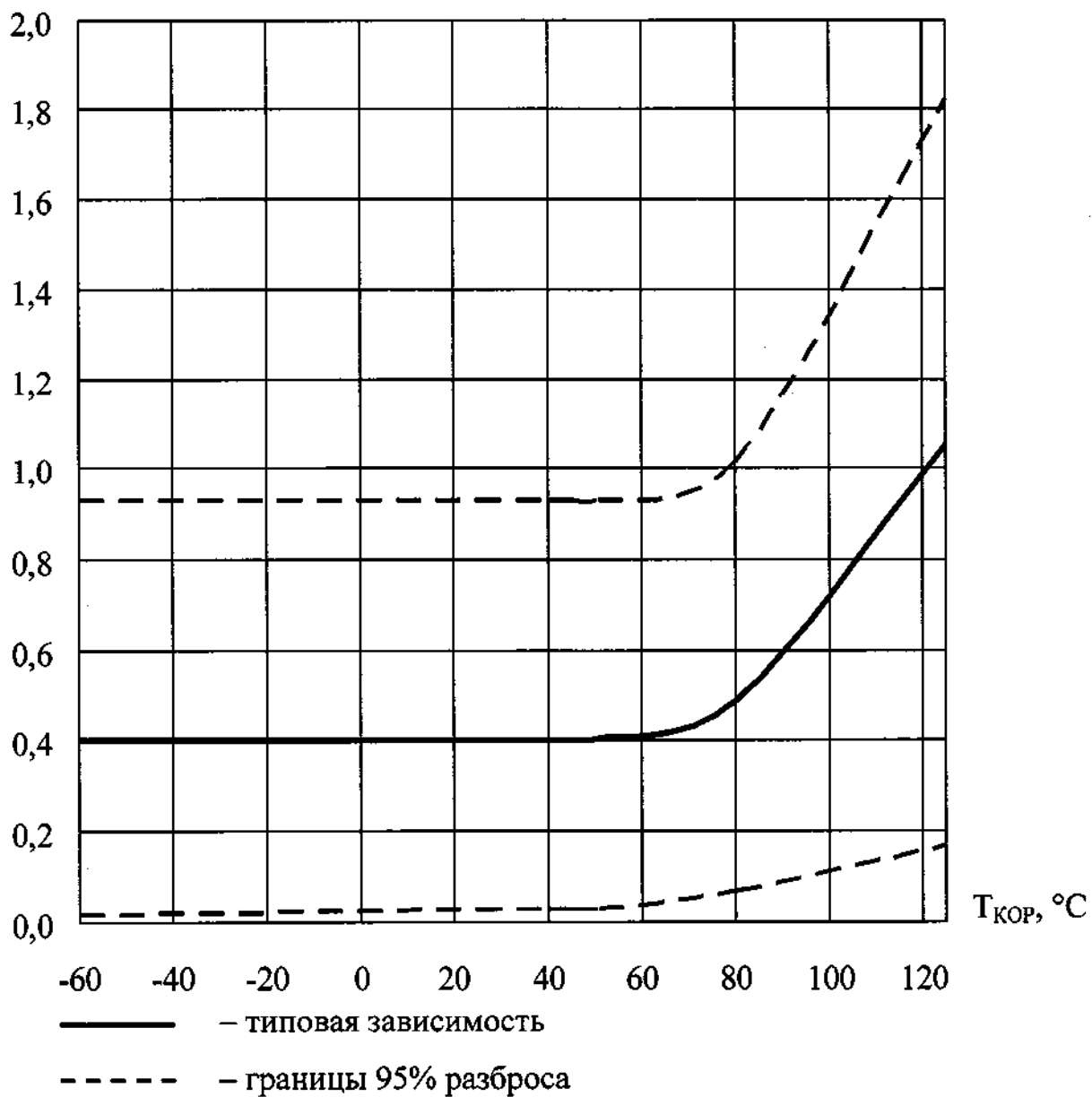


Рисунок 24 – Типовые зависимости нестабильности по току  $K_I$  от входного напряжения  $U_{\text{BX}}$  при  $I_{\text{вых}} = 0,005 \text{ A}$ ,  $\Delta I_{\text{вых}} = 0,495 \text{ A}$ ,  $T_{\text{КОР}} = (25 \pm 10)^\circ\text{C}$  микросхем типов 1395EH05, 1395EH06

$K_I$ , %/A



1395EP055Б, 1395EP051А, 1395EH05A1, 1395EH06A5Б, 1395EH05Б1,  
1395EH06Б5Б, 1395EH05B1, 1395EH06B5Б, 1395EH05B4Б, 1395EH06B1А,  
1395EH05Г1, 1395EH06Г5Б, 1395EH05Д1, 1395EH06Д5Б,  
1395EH05Е1, 1395EH06Е5Б, 1395EH05Е4Б, 1395EH06Е1А при  $U_{ВХ} = 5,8$  В;  
1395EH05Ж1, 1395EH06Ж5Б, 1395EH05Ж4Б, 1395EH06Ж1А при  $U_{ВХ} = 7,5$  В;  
1395EH05И1, 1395EH06И5Б при  $U_{ВХ} = 11,5$  В;  
1395EH05К1, 1395EH06К5Б при  $U_{ВХ} = 14,5$  В.

Рисунок 25 – Типовая зависимость нестабильности по току  $K_I$   
от температуры корпуса  $T_{KOP}$  при  $I_{вых} = 0,005$  А,  $\Delta I_{вых} = 0,495$  А  
микросхем

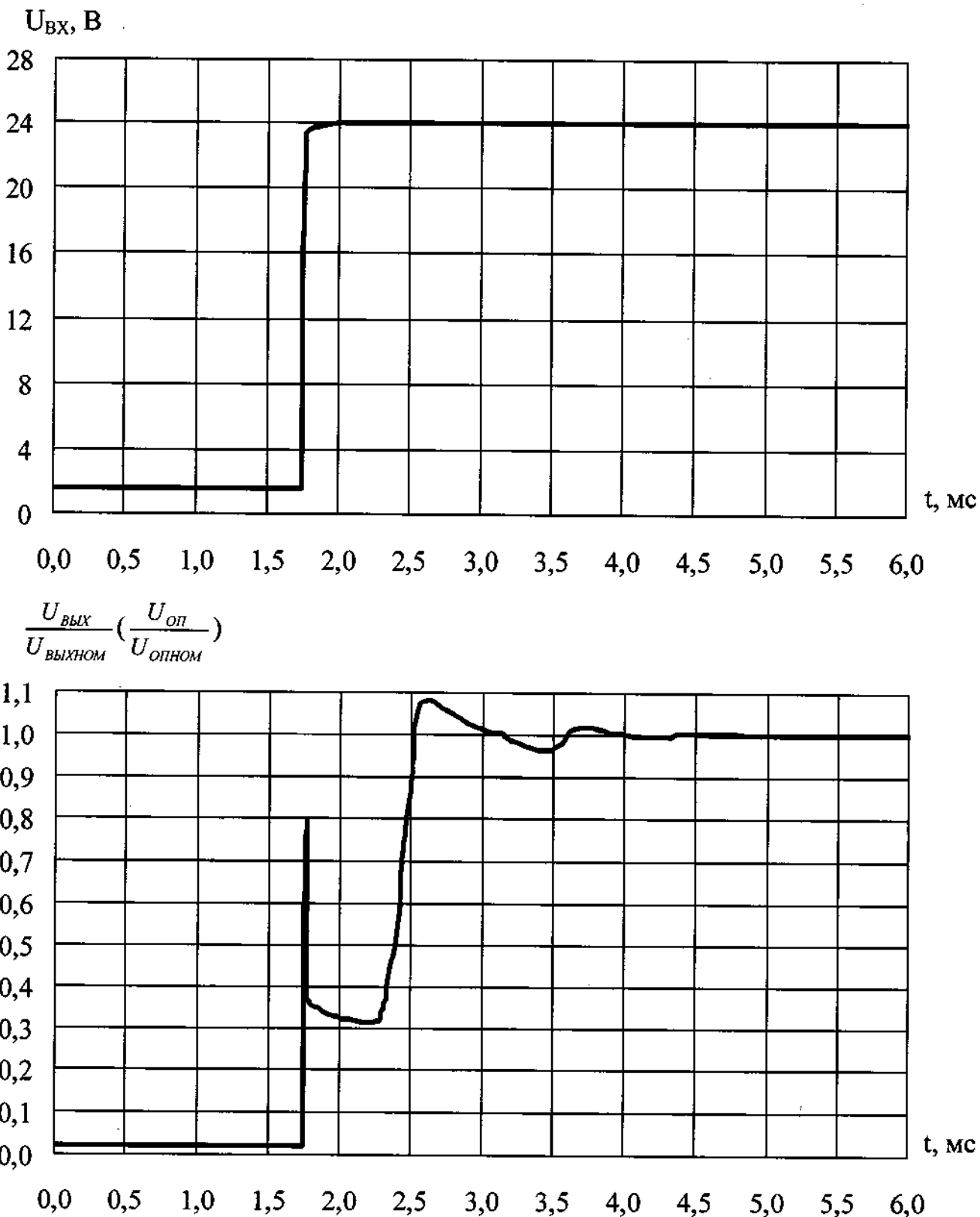


Рисунок 26 – Временные диаграммы отношения выходного (опорного) напряжения к номинальному выходному (опорному) напряжению  $U_{\text{вых}} / U_{\text{выхном}} (U_{\text{оп}} / U_{\text{опном}})$  при  $U_{\text{ВХ}} = 0$ ,  $\Delta U_{\text{ВХ}} = 24$  В,  $I_{\text{вых}} = 0,005$  А,  $T_{\text{КОР}} = (25 \pm 10)$  °С (при подаче входного напряжения)

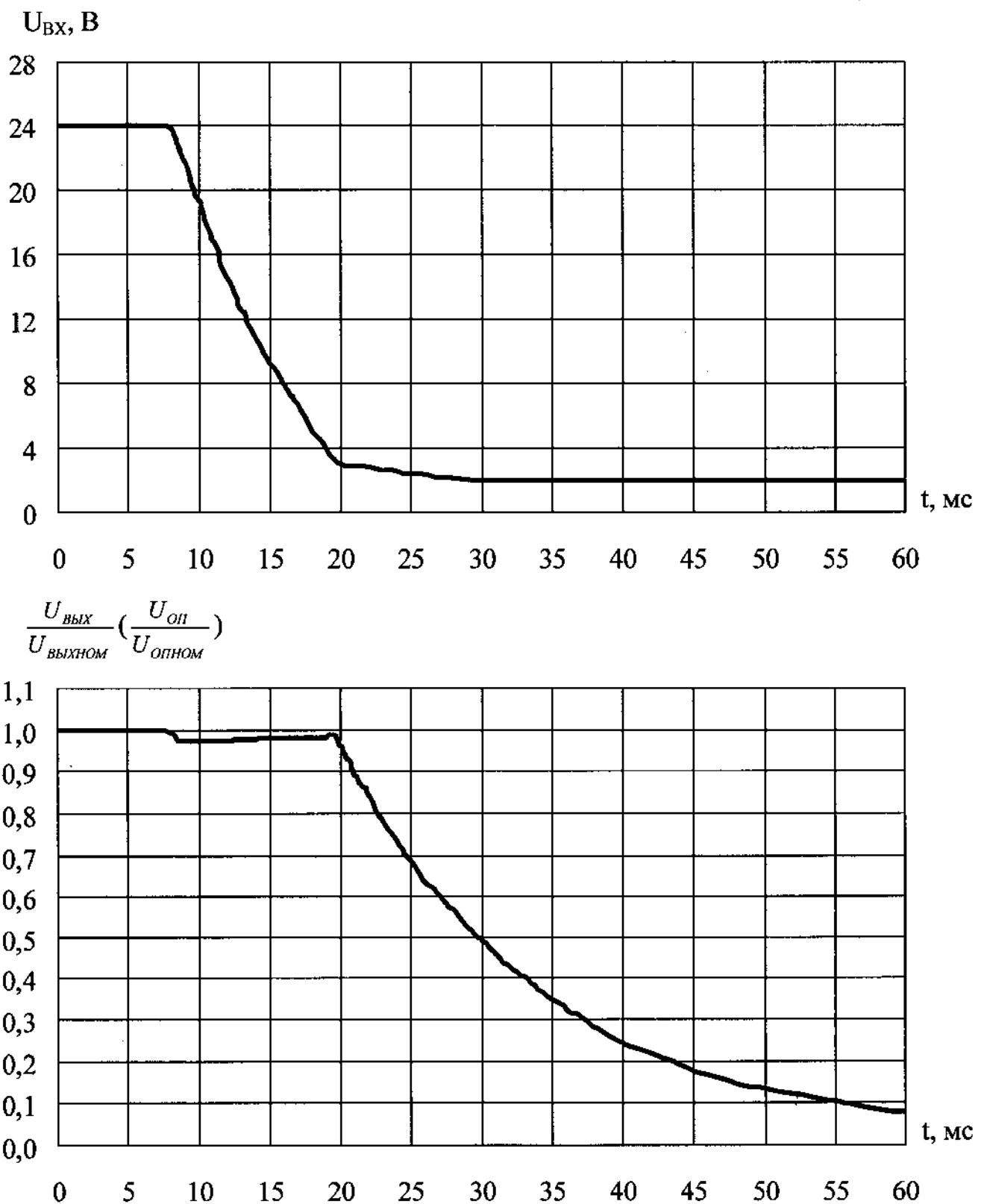
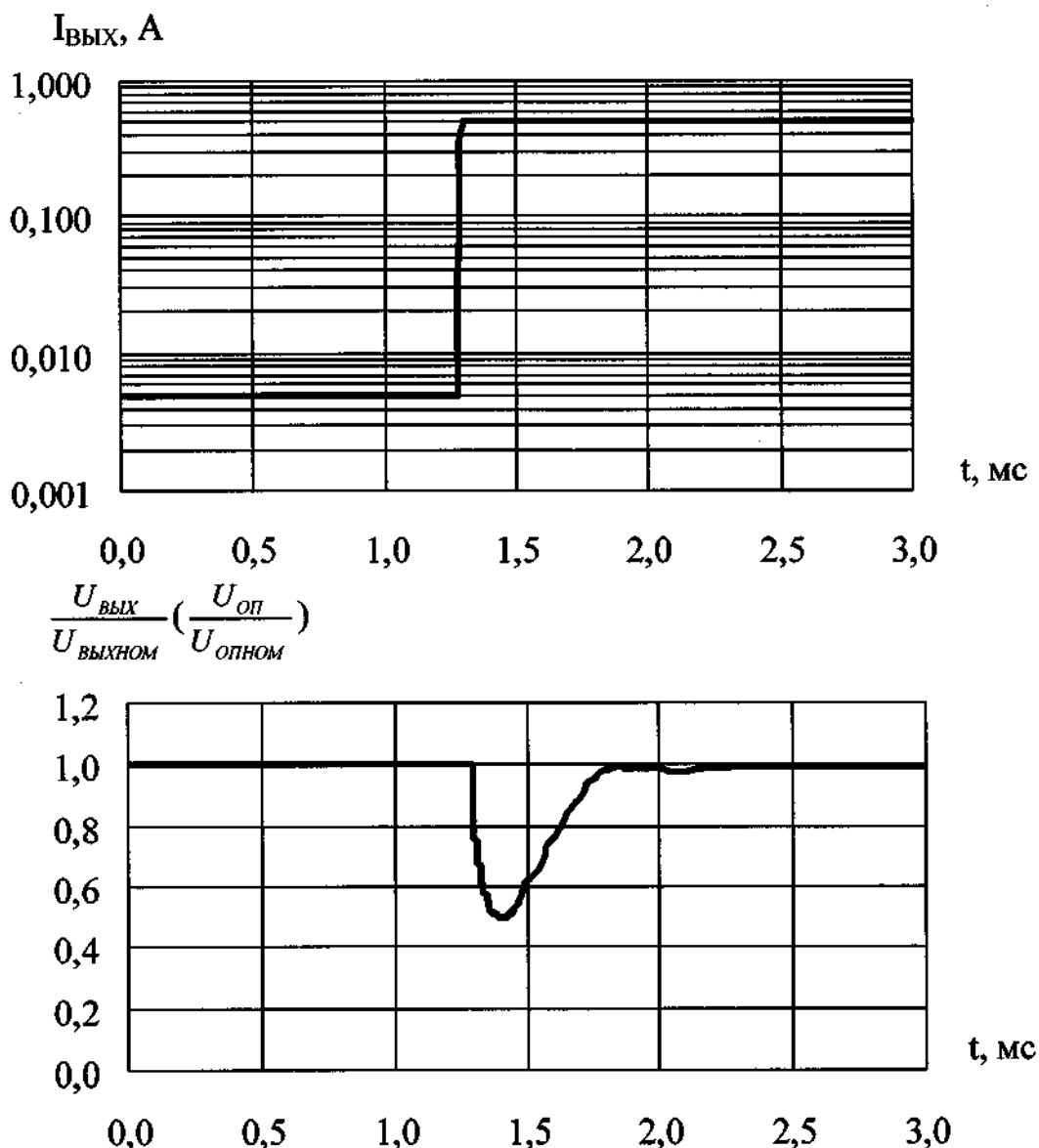
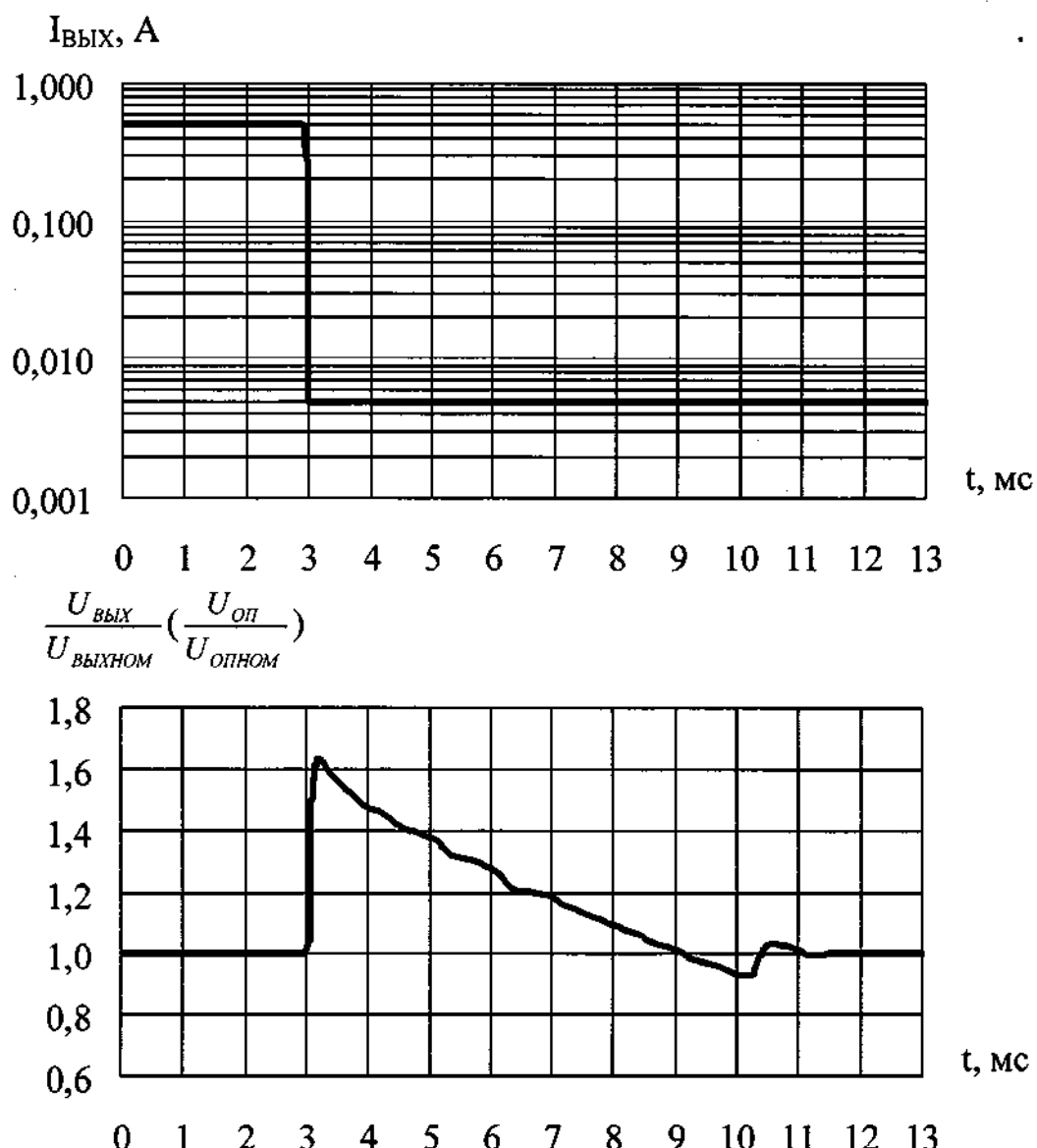


Рисунок 27 – Временные диаграммы отношения выходного (опорного) напряжения к номинальному выходному (опорному) напряжению  $U_{VYX} / U_{VYX \text{ном}}$  ( $U_{Op} / U_{Op \text{ном}}$ ) при  $U_{VX} = 24$  В,  $\Delta U_{VX} = 24$  В,  $I_{VYX} = 0,005$  А,  $T_{КОР} = (25 \pm 10)$  °С (при снятии входного напряжения)



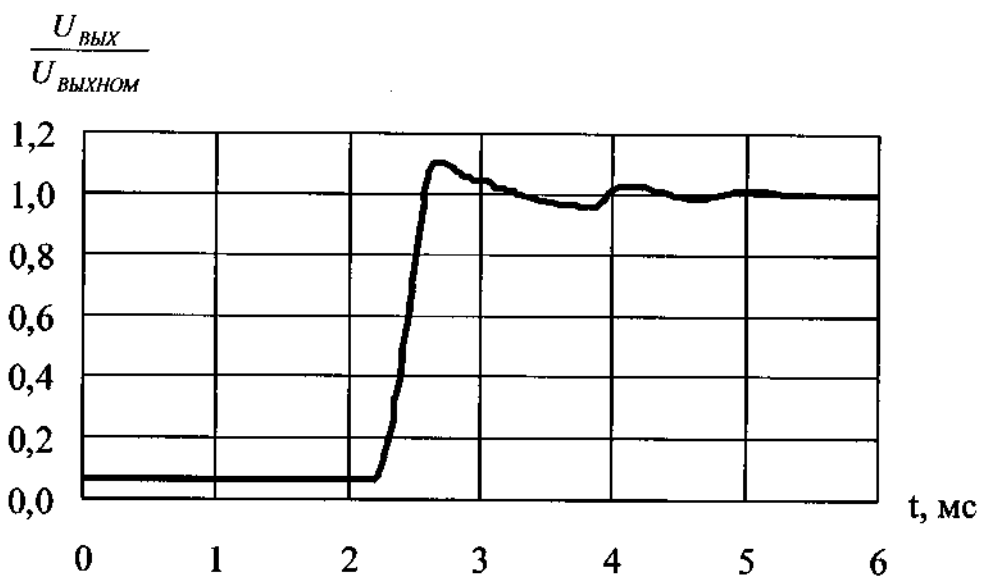
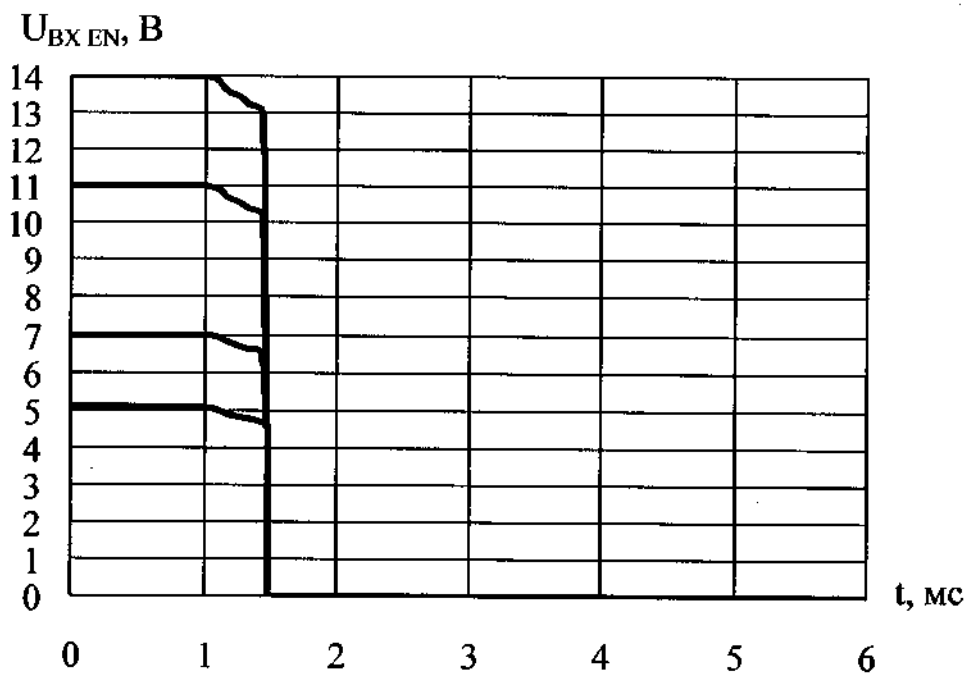
1395EP055Б, 1395EP051А, 1395EH05А1, 1395EH06А5Б, 1395EH05Б1,  
 1395EH06Б5Б, 1395EH05В1, 1395EH06В5Б, 1395EH05В4Б, 1395EH06В1А,  
 1395EH05Г1, 1395EH06Г5Б, 1395EH05Д1, 1395EH06Д5Б,  
 1395EH05Е1, 1395EH06Е5Б, 1395EH05Е4Б, 1395EH06Е1А при  $U_{\text{вх}} = 5,8$  В;  
 1395EH05Ж1, 1395EH06Ж5Б, 1395EH05Ж4Б, 1395EH06Ж1А при  $U_{\text{вх}} = 7,5$  В;  
 1395EH05И1, 1395EH06И5Б при  $U_{\text{вх}} = 11,5$  В;  
 1395EH05К1, 1395EH06К5Б при  $U_{\text{вх}} = 14,5$  В.

Рисунок 28 – Временные диаграммы отношения выходного (опорного) напряжения к номинальному выходному (опорному) напряжению  $U_{\text{вых}} / U_{\text{выхном}}$  ( $U_{\text{оп}} / U_{\text{опном}}$ ) при  $I_{\text{вых}} = 0,005$  А,  $\Delta I_{\text{вых}} = 0,495$  А,  $T_{\text{КОР}} = (25 \pm 10)$  °С (при подаче выходного тока) микросхем



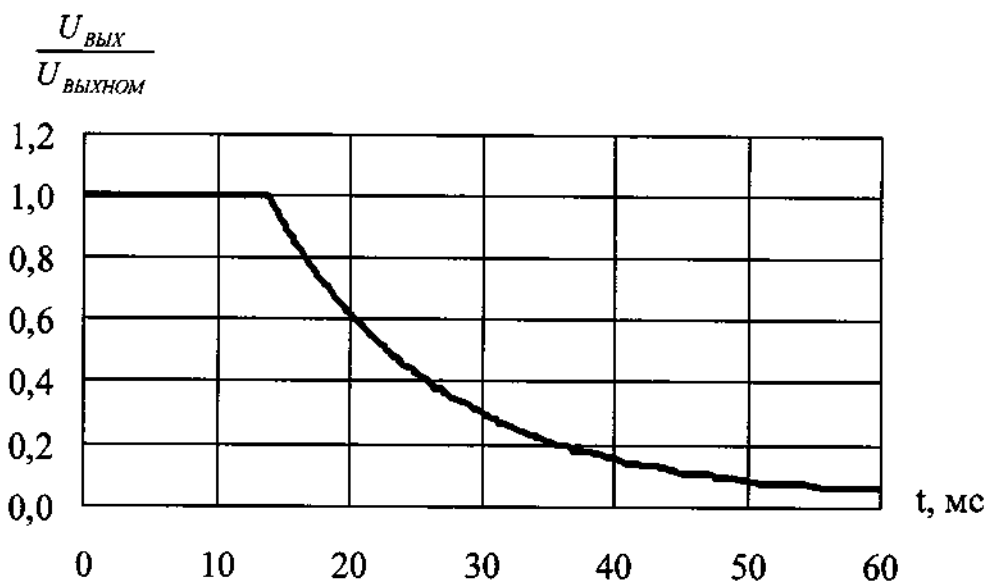
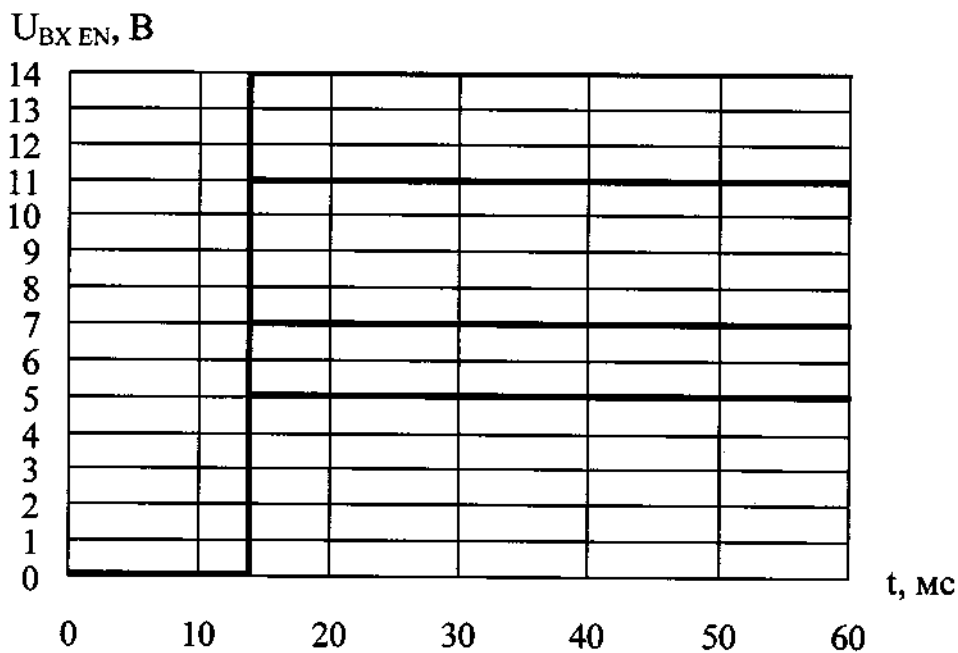
1395EP055Б, 1395EP051А, 1395EH05А1, 1395EH06А5Б, 1395EH05Б1,  
 1395EH06Б5Б, 1395EH05В1, 1395EH06В5Б, 1395EH05В4Б, 1395EH06В1А,  
 1395EH05Г1, 1395EH06Г5Б, 1395EH05Д1, 1395EH06Д5Б,  
 1395EH05Е1, 1395EH06Е5Б, 1395EH05Е4Б, 1395EH06Е1А при  $U_{\text{вх}} = 5,8 \text{ В}$ ;  
 1395EH05Ж1, 1395EH06Ж5Б, 1395EH05Ж4Б, 1395EH06Ж1А при  $U_{\text{вх}} = 7,5 \text{ В}$ ;  
 1395EH05И1, 1395EH06И5Б при  $U_{\text{вх}} = 11,5 \text{ В}$ ;  
 1395EH05К1, 1395EH06К5Б при  $U_{\text{вх}} = 14,5 \text{ В}$ .

Рисунок 29 – Временные диаграммы отношения выходного (опорного) напряжения к номинальному выходному (опорному) напряжению  $U_{\text{вых}} / U_{\text{выхном}} (U_{\text{оп}} / U_{\text{опном}})$  при  $I_{\text{вых}} = 0,500 \text{ А}, \Delta I_{\text{вых}} = 0,495 \text{ А}, T_{\text{КОР}} = (25 \pm 10) \text{ }^{\circ}\text{C}$  (при снятии выходного тока) микросхем



1395EH06A5Б, 1395EH06Б5Б, 1395EH06B5Б, 1395EH06B1А, 1395EH06Г5Б,  
 1395EH06Д5Б, 1395EH06Е5Б, 1395EH06Е1А при  $U_{BX} = 5$  В,  $U_{BX.BEN} = 5$  В;  
 1395EH06Ж5Б, 1395EH06Ж1А при  $U_{BX} = 7$  В,  $U_{BX.BEN} = 7$  В;  
 1395EH06И5Б при  $U_{BX} = 11$  В,  $U_{BX.BEN} = 11$  В;  
 1395EH06К5Б при  $U_{BX} = 14$  В,  $U_{BX.BEN} = 14$  В.

Рисунок 30 – Временные диаграммы отношения выходного напряжения к номинальному выходному напряжению  $U_{вых} / U_{выхном}$  при переключении логических уровней входного напряжения на выводе EN из высокого уровня в низкий уровень,  $U_{BX.HEN} = 0$ ,  $I_{вых} = 0,005$  А,  $T_{КОР} = (25 \pm 10)$  °С микросхем



1395ЕН06А5Б, 1395ЕН06Б5Б, 1395ЕН06В5Б, 1395ЕН06В1А, 1395ЕН06Г5Б,  
 1395ЕН06Д5Б, 1395ЕН06Е5Б, 1395ЕН06Е1А при U<sub>ВХ</sub> = 5 В, U<sub>ВХ.В EN</sub> = 5 В;  
 1395ЕН06Ж5Б, 1395ЕН06Ж1А при U<sub>ВХ</sub> = 7 В, U<sub>ВХ.В EN</sub> = 7 В;  
 1395ЕН06И5Б при U<sub>ВХ</sub> = 11 В, U<sub>ВХ.В EN</sub> = 11 В;  
 1395ЕН06К5Б при U<sub>ВХ</sub> = 14 В, U<sub>ВХ.В EN</sub> = 14 В.

Рисунок 31 – Временные диаграммы отношения выходного напряжения к номинальному выходному напряжению  $U_{\text{вых}} / U_{\text{выхном}}$  при переключении логических уровней входного напряжения на выводе EN из низкого уровня в высокий уровень, U<sub>ВХ.Н EN</sub> = 0, I<sub>вых</sub> = 0,005 А, T<sub>КОР</sub> = (25 ± 10) °С микросхем